

UNIVERSITÀ DEGLI STUDI DI NAPOLI “PARTHENOPE”



SCUOLA INTERDIPARTIMENTALE DELLE SCIENZE,
DELL'INGEGNERIA E DELLA SALUTE

DIPARTIMENTO DI SCIENZE E TECNOLOGIE
CORSO DI LAUREA TRIENNALE IN INFORMATICA

IDENTIFICAZIONE E TRACCIAMENTO
DELLE REGIONI ATTIVE SUL SOLE

RELATORE

PROF. EMANUEL DI NARDO

CORRELATORE

PROF. ANGELO CIARAMELLA

CANDIDATA

SARA TERLIZZI

0124002161

Anno Accademico 2024/2025

Abstract

Abstract italiano

Abstract (English)

Abstract inglese

*A chi non respira più con me,
ma continua a vivere nei miei ricordi e nel mio cuore:
A Nonna ed Emidio, che non smetteranno mai di mancarmi.*

*Ai miei Genitori, all'idea che per la prima volta
sono riuscita a ripagare -per davvero- ogni vostro sforzo.
A mio fratello Francesco, ti ho desiderato con tutto il mio cuore ed
-ora che sei qui- voglio che tu sia la versione migliore di me.
Alla mia famiglia tutta, dagli incoraggiamenti prima di ogni prova
alle telefonate post-esame.*

*Ad ogni persona che ho incontrato sulla mia strada
-che sia rimasta o che sia stata solo di passaggio-
siete stati essenziali per srotolare il groviglio che c'è in me.*

*A chiunque abbia creduto in me,
nelle mie potenzialità e nel mio modo di essere,
anche quando -io stessa- non ero in grado di farlo.*

*A chi lotta contro il nemico invisibile dell'ansia di non essere abbastanza.
Alle notti insonni e alle lacrime.
Alla paura che ti mangia dentro e sembra non esistere via di fuga.
Al buio che mi ha fatto apprezzare la luce.
Oggi ho vinto io.*

“Puoi sprecare la tua vita a tracciare confini oppure puoi decidere di vivere superandoli. Alcuni sono molto difficili da superare. Però una cosa la so: se sei pronto a correre il rischio, la vita dall'altra parte è spettacolare.”



Indice

1	Introduzione	1
1.1	Contesto e Motivazione	1
1.2	Obiettivo della Tesi	3
1.3	Struttura della Tesi	4
2	Modelli e Metodologie Utilizzate	5
2.1	Panoramica sull’Intelligenza Artificiale, l’Object Detection e le Bounding Box	5
2.1.1	Intelligenza Artificiale	5
2.1.2	Object Detection	6
2.1.3	Bounding Box	7
2.1.4	Applicazioni	8
2.1.5	Conclusione	8
2.2	Python	8
2.2.1	Librerie ausiliarie	9
2.3	Miniconda	9
2.4	PyTorch	10
2.5	CUDA	10
2.6	Norfair	11
2.6.1	Funzionamento e Caratteristiche	11
2.6.2	Applicazioni Tipiche	12
2.7	YOLOv7	12
2.7.1	Funzionamento e Caratteristiche	12
2.7.2	Applicazioni Tipiche	13
2.7.3	Avanzamenti nei Rilevatori in Tempo Reale	14
2.8	Dati	17
2.8.1	Definizione e significato dei Dati Osservativi	17
2.8.2	Finalità e utilizzi	18
2.8.3	Origine, Selezione e Organizzazione del Dataset	18
2.8.4	Applicazioni nel presente lavoro	21
2.8.5	Struttura del file	21
2.8.6	Metadati HARP di interesse	21

3	Applicazione realizzata	23
3.1	Adattamento del modello YOLOv7	23
3.1.1	Implementazione di un Data Loader per Dati Scientifici	23
3.1.2	Integrazione del Data Loader nella Logica di Training	26
3.2	Approccio alternativo: Pre-conversione del Dataset	31
3.2.1	Prima Fase: Transcodifica da HDF5 a YOLO	32
3.2.2	Seconda Fase: Post-Processing e Mascheramento dello Sfondo	33
3.3	Tracking Multi-Oggetto con Norfair	35
3.3.1	Implementazione del Modulo di Tracciamento	35
3.3.2	Valutazione Quantitativa delle Prestazioni	36
3.4	Considerazioni Conclusive oppure Riepilogo delle Strategie Implementative oppure Sintesi del Capitolo ed Introduzione alla Sperimentazione	36
A	Codice Sorgente	39
A.1	Generazione del Dataset e Splitting Temporale	39
A.2	Data Loader Custom	42
A.3	Scaricamento e Processamento Dati Solari	47
A.4	Modifiche a train.py	52
A.5	Modifiche a test.py	54
A.6	Modifiche a plots.py	56
A.7	Script di Conversione	58
A.8	Script di Post-Processing	63
A.9	Script di Tracciamento e Analisi	66

Elenco delle figure

1.1	Flare Solare	2
2.1	Logo di Python	8
2.2	Logo di Miniconda	10
2.3	Logo di Pytorch	10
2.4	Logo di CUDA	10
2.5	Logo di Norfair	11
2.6	Esempio di multi-tracking di Norfair	12
2.7	Architettura E-ELAN)	14
2.8	Compound Scaling	15
2.9	Strategia di Label Assignment	16
2.10	Campionamento temporale del dataset	19
3.1	Artefatto di conversione H5	33
3.2	Risultato della maschera circolare	34

Elenco delle tabelle

2.1	Confronto prestazioni YOLOv7	17
2.2	Efficienza del Compound Scaling	17
2.3	Suddivisione temporale completa del dataset (Train/Val/Test) . .	20
2.4	Campi di interesse nei dati HARP	22

Elenco dei codici

A.1	Script dataset.py per il campionamento e la generazione degli split	39
A.2	Classe DatasetH5 per il caricamento dei file .h5	42
A.3	Script download.py per il recupero dei dati da JSOC	47
A.4	Importazione in train.py	52
A.5	Funzione Collate per il Training	52
A.6	Lettura configurazione .yaml	53
A.7	Selezione dinamica del DataLoader	53
A.8	Normalizzazione condizionale nel training	54
A.9	Importazioni in test.py	54
A.10	Funzione Collate semplificata per il Test	54
A.11	Nuovo parametro nella funzione test	55
A.12	Creazione Dataloader in test.py	55
A.13	Normalizzazione condizionale nel test	56
A.14	Adattamento scale_coords	56
A.15	Chiamata al thread di plotting	56
A.16	Firma funzione plot_images	56
A.17	Check normalizzazione plot	57
A.18	Logica di rendering magnetogrammi	57
A.19	Inversione coordinate Y	58
A.20	Script preprocess_to_zip.py completo	58
A.21	Script convert.py per il mascheramento	63
A.22	Script di tracciamento (track.py)	66
A.23	Script per il calcolo delle metriche MOT (track_metrics.py)	69

Capitolo 1

Introduzione

Nel presente capitolo, si andrà a spiegare il contesto scientifico in cui si inserisce il lavoro di tesi, illustrando le motivazioni alla base della scelta del tema affrontato e definendo l'obiettivo principale della ricerca. In particolare, l'attenzione è rivolta allo studio delle regioni attive solari, in quanto sedi privilegiate dei fenomeni energetici più intensi osservati sul Sole.

Il capitolo fornisce inoltre una panoramica delle implicazioni scientifiche e applicative legate all'analisi di tali regioni e anticipa la struttura generale della tesi.

1.1 Contesto e Motivazione

Il Sole è da sempre oggetto di numerosi studi nell'ambito dell'astrofisica, in quanto sorgente di fenomeni magnetici ed energetici che influenzano l'ambiente spaziale circostante. Tra tali fenomeni, i **flare solari** rappresentano eventi improvvisi ed altamente energetici, caratterizzati dal rilascio di grandi quantità di energia sottoforma di radiazione elettromagnetica.

Numerose osservazioni hanno evidenziato come tali eventi abbiano origine principalmente nelle **regioni attive solari**, aree localizzate della fotosfera caratterizzate da intensi e complessi campi magnetici, spesso associate alla presenza di macchie solari. La complessità strutturale e l'evoluzione temporale delle regioni attive svolgono un ruolo fondamentale nell'origine dei flare solari e dei fenomeni ad essi associati, quali le espulsioni di massa coronale (*Coronal Mass Ejections, CME*) e le particelle energetiche solari (*Solar Energetic Particles, SEP*).

Quando tali eventi si propagano verso la Terra, possono dare origine a **tempeste geomagnetiche** e a una vasta gamma di effetti sull'ambiente spaziale circumterrestre, con conseguenze negative sulle infrastrutture tecnologiche [1].

Tra le manifestazioni più rilevanti vi è la generazione di **correnti geomagneticamente indotte** (*Geomagnetically Induced Currents, GIC*) nelle reti elettriche terrestri, che possono causare danni ai trasformatori e interruzioni della fornitura di energia, come dimostrato da eventi storici quali il *blackout* della rete elettrica di Hydro-Québec del marzo 1989 [2], durante il quale l'intero sistema passò da condizioni operative nominali allo spegnimento completo in circa 92

secondi, lasciando oltre sei milioni di persone senza elettricità in una giornata particolarmente fredda. Ulteriori esempi sono rappresentati dai numerosi guasti ai trasformatori che ridussero drasticamente la capacità della rete elettrica sudafricana durante le intense tempeste geomagnetiche dell'ottobre 2003 [3].

Le emissioni in raggi X e nell'ultravioletto estremo (*Extreme Ultraviolet, EUV*) prodotte dai flare solari più intensi possono modificare la struttura dell'ionosfera sul lato diurno della Terra, compromettendo la propagazione dei segnali radio e influenzando il funzionamento dei sistemi globali di navigazione satellitare (*Global Navigation Satellite Systems, GNSS*) [4]. Tali sistemi, oltre alla navigazione, forniscono servizi di temporizzazione ad alta precisione, fondamentali per settori critici come quello finanziario. Ulteriori effetti includono un aumento del *drag* atmosferico sui satelliti in orbita bassa, che può determinare una progressiva perdita di quota e, nei casi più estremi, il rientro prematuro in atmosfera. Un esempio recente di questo fenomeno è rappresentato dalla perdita di una parte della flotta di satelliti Starlink in seguito a un episodio di intensa attività geomagnetica.

Sia le espulsioni di massa coronale sia i flare solari sono inoltre associati a **tempesta di radiazione solare**, ovvero improvvisi aumenti del flusso di particelle energetiche (protoni, particelle alfa e ioni più pesanti), che possono determinare un significativo incremento dell'ambiente radiativo nello spazio circumterrestre e, in alcuni casi, anche all'interno dell'atmosfera terrestre, fino a raggiungere il livello del mare. Le tempeste di radiazione hanno effetti su una vasta gamma di sistemi elettrici ed elettronici e possono rappresentare un rischio radiativo, seppur limitato, per l'uomo, sia nello spazio sia a bordo di aeromobili. Tali effetti risultano particolarmente rilevanti per l'aviazione, soprattutto considerando il ruolo sempre più centrale dei dispositivi digitali nei sistemi di controllo del volo, nonché nei sistemi di navigazione e comunicazione.

Alla luce di ciò, l'identificazione e il tracciamento temporale delle regioni attive solari risultano di fondamentale importanza per comprendere e, potenzialmente, prevedere l'attività solare.

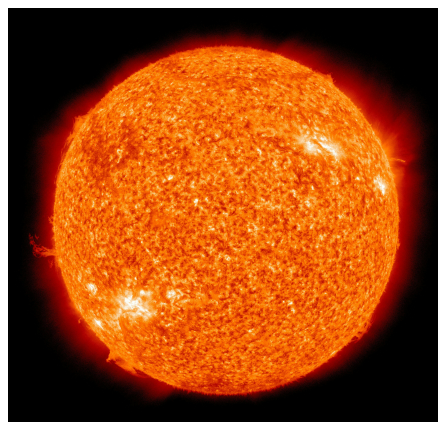


Figura 1.1: Immagine del Sole in cui sono in atto flare solari

1.2 Obiettivo della Tesi

Da quanto illustrato finora, lo studio dell'attività solare riveste un ruolo fondamentale nell'analisi dello *space weather*, ovvero l'insieme dei fenomeni astrofisici che possono influenzare le tecnologie spaziali e terrestri.

Poiché gli eventi più rilevanti in questo contesto hanno origine prevalentemente nelle regioni attive del Sole, la presente tesi si propone di:

1. Sviluppare un sistema automatico per l'identificazione delle regioni attive solari attraverso l'analisi dei magnetogrammi del disco solare, prodotti dallo strumento **Helioseismic and Magnetic Imager (HMI)** a bordo del satellite **Solar Dynamics Observatory (SDO)**.
2. Utilizzare il *data product HARP* (*Helioseismic and Magnetic Imager Active Region Patches*), fornito dal team scientifico del Solar Dynamics Observatory, che offre una rappresentazione strutturata delle aree magneticamente attive sulla superficie solare, permettendo l'annotazione dei magnetogrammi e lo sviluppo di un metodo di localizzazione automatica delle regioni attive, basato sull'estrazione delle *bounding box*.
3. Riadattare il modello di *object detection YOLOv7*, rendendolo utilizzabile in un contesto astrofisico e integrandolo con la libreria **Norfair** per il *tracking* temporale delle regioni attive.
4. Utilizzare un dataset annotato per l'addestramento del modello YOLOv7 (opportunamente modificato), con l'obiettivo di riconoscere automaticamente le regioni attive solari.

YOLOv7 è un modello di *object detection* preesistente, ideato per identificare e localizzare oggetti in immagini RGB in modo accurato ed efficiente [5]. Per adattarlo all'analisi dei magnetogrammi solari e delle regioni attive descritte nei dati HARP, sono state apportate le seguenti modifiche:

- caricamento di immagini in formato scientifico (file .h5 contenenti magnetogrammi e *bounding box* HARP);
- estrazione delle *bounding box* a partire dai dati HARP;
- addestramento del modello per la rilevazione automatica delle regioni attive in immagini solari;
- integrazione con la libreria Norfair per il *tracking* temporale delle regioni attive rilevate.

Tali modifiche consentono di sfruttare al meglio YOLOv7 in un contesto scientifico diverso da quello per cui è stato originariamente concepito, ma mantenendo al contempo l'efficienza e la rapidità del modello originale.

I dati utilizzati in questo lavoro sono pubblicamente accessibili dal Joint Science Operations Center (JSOC), la struttura responsabile dell'elaborazione e della

distribuzione dei dati del Solar Dynamics Observatory (SDO), gestita dalla Stanford University in collaborazione con la NASA [6].

La selezione dei dati è avvenuta a cura di Elizabeth Doria Rosales, dottoranda in fisica presso l'Università di Trento.

1.3 Struttura della Tesi

La tesi è strutturata nei seguenti capitoli:

- **Capitolo 2:** Panoramica delle tecnologie e metodologie utilizzate, con focus sul modello YOLOv7 e sulla libreria Norfair.
- **Capitolo 3:** Illustrazione delle soluzioni tecniche adottate.
- **Capitolo 4:** Analisi dei risultati sperimentali, con valutazioni.
- **Capitolo 5:** Conclusioni ed eventuali sviluppi futuri.

Infine, le conclusioni racchiudono una riflessione sui risultati ottenuti, sui limiti del lavoro effettuato e le potenziali direzioni da poter intraprendere in futuro.

Capitolo 2

Modelli e Metodologie Utilizzate

Nel presente capitolo sono descritte le principali tecnologie e metodologie adottate durante lo sviluppo del progetto.

2.1 Panoramica sull’Intelligenza Artificiale, l’Object Detection e le Bounding Box

Nel contesto del progetto di tesi, queste tecnologie sono state fondamentali: l’**Intelligenza Artificiale** ha permesso l’addestramento di un modello per un compito non usuale; l’*Object Detection* è stata la metodologia per localizzare le regioni attive nei magnetogrammi; le *Bounding Box* hanno rappresentato lo strumento pratico per delimitarle visivamente.

2.1.1 Intelligenza Artificiale

L’**Intelligenza Artificiale** (IA) è un campo dell’informatica che si propone di sviluppare sistemi in grado di svolgere attività tipicamente umane, quali ragionamento, apprendimento automatico, elaborazione del linguaggio naturale e percezione visiva[7]. Negli ultimi anni, l’IA ha compiuto enormi passi in avanti, e questo lo deve all’evoluzione del *machine learning* (ML), e in particolare del *deep learning* (DL). Tutto ciò ha reso possibile affrontare con successo problemi complessi come il riconoscimento facciale, la traduzione automatica, il rilevamento di oggetti e persino la guida autonoma [8].

Nel contesto dell’IA moderna, le tecniche più rilevanti sono:

- **Machine Learning:** metodi che apprendono da dati osservati senza essere esplicitamente programmati per ogni compito.
- **Deep Learning:** architetture neurali multilivello, capaci di apprendere rappresentazioni gerarchiche e complesse dei dati.
- **Apprendimento supervisionato e non supervisionato:** rispettivamente con o senza etichette nei dati di input.

Machine Learning

Il **Machine Learning** (ML) è una branca dell'intelligenza artificiale che si occupa di progettare algoritmi in grado di apprendere automaticamente dai dati, migliorando le proprie prestazioni nel tempo senza essere esplicitamente programmati [9]. Un algoritmo di Machine Learning è addestrato su un insieme di dati *training set*, per poi essere valutato su dati non visti, detti *test set*, così da poter verificarne la sua capacità di generalizzazione.

Le principali modalità di apprendimento nel ML sono:

- **Apprendimento supervisionato:** l'algoritmo apprende da dati etichettati, ovvero ogni esempio presente dataset è associato ad un output già noto. Questa rappresenta la modalità più usata, soprattutto per quanto riguarda la classificazione di immagini o il riconoscimento vocale.
- **Apprendimento non supervisionato:** i dati non hanno etichette, per cui è l'algoritmo stesso a tentare di identificare strutture nascoste o raggruppamenti nei dati. Questa modalità è usata nel *clustering*, nella compressione o nel rilevamento di anomalie.
- **Apprendimento per rinforzo:** un agente interagisce con un ambiente e apprende tramite un sistema di ricompense e penalità, ottimizzando le proprie decisioni. Questa modalità è impiegata, ad esempio, nei videogiochi o nella robotica autonoma.

Deep Learning

Il **Deep Learning** (DL), come accennato prima, è una sottoclasse del ML che utilizza *reti neurali profonde*, composte da molti strati (*layers*) nascosti. Tali modelli sono particolarmente efficienti nel trattare dati complessi e non strutturati, come immagini, audio e testo [8]. Grazie alla grande disponibilità di dati e potenza computazionale, il Deep Learning ha rivoluzionato il campo della *computer vision*, rendendo possibili compiti prima irrisolvibili, tra cui:

- Riconoscimento facciale in tempo reale
- Traduzione automatica basata sul contesto
- Rilevamento e classificazione di oggetti in immagini ad alta risoluzione

2.1.2 Object Detection

L'**Object Detection** è un'area fondamentale della *computer vision* che ha l'obiettivo di localizzare e classificare automaticamente uno o più oggetti in un'immagine o in un video [10]. I modelli di Object Detection producono come output sia la categoria di ciascun oggetto (es. "persona", "auto", "segnaletica stradale"), sia una bounding box che ne racchiude l'area nell'immagine.

Le principali tecniche si dividono in due grandi famiglie:

- **Two-stage detectors:** suddividono il processo in due fasi distinte: dapprima vi è la generazione di regioni proposte (*Region Proposal Network, RPN*) e successivamente la classificazione delle regioni. Esempi noti sono R-CNN, Fast R-CNN e Faster R-CNN [11].
- **One-stage detectors:** eseguono direttamente la classificazione e la regressione delle bounding box in un'unica fase, abbreviando notevolmente i tempi. I principali rappresentanti di questa famiglia sono YOLO (*You Only Look Once*) - di cui è stato fatto uso per il presente progetto di tesi - [12] e SSD (*Single Shot MultiBox Detector*) [13].

Metriche di Valutazione

L'efficacia di un modello di Object Detection viene valutata con metriche come:

- **Intersection over Union (IoU):** misura l'intersezione tra la bounding box predetta e quella reale:

$$\text{IoU} = \frac{\text{Area of Overlap}}{\text{Area of Union}}$$

Un valore di IoU pari a 1 indica una corrispondenza perfetta tra predizione e *ground truth*, mentre un valore pari a 0 indica assenza totale di sovrapposizione.

- **Precision, Recall e mAP (mean Average Precision):** metriche derivate da classificazione e localizzazione, il cui scopo è confrontare le prestazioni tra modelli.

2.1.3 Bounding Box

La **bounding box** è un rettangolo utilizzato per racchiudere un oggetto rilevato all'interno di un'immagine. È solitamente rappresentata da quattro coordinate:

$$(x_{\min}, y_{\min}, x_{\max}, y_{\max})$$

dove:

- (x_{\min}, y_{\min}) rappresenta il vertice in alto a sinistra,
- (x_{\max}, y_{\max}) rappresenta il vertice in basso a destra.

Alternativamente, può essere espressa con centro e dimensioni:

$$(x_{\text{center}}, y_{\text{center}}, w, h)$$

dove w e h sono larghezza e altezza.

L'accuratezza delle bounding box è cruciale nei sistemi *real-time*, dove la minima imprecisione può compromettere l'affidabilità dell'intero sistema.

2.1.4 Applicazioni

Le possibili applicazioni dell'Object Detection, assieme all'utilizzo delle bounding box, sono molteplici. Alcuni esempi possono essere:

- **Veicoli autonomi:** per rilevare pedoni, segnali stradali e/o altri veicoli.
- **Videosorveglianza:** per il rilevamento di attività sospette o intrusioni.
- **Medicina:** per individuare anomalie in immagini radiologiche.
- **Astronomia e climatologia:** per l'identificazione automatica di eventi rari o transitori.

2.1.5 Conclusione

L'utilizzo combinato di IA, Object Detection e bounding box ha trasformato radicalmente il modo in cui le macchine percepiscono e interagiscono con il mondo visivo. I continui sviluppi in questo ambito promettono ulteriori miglioramenti in precisione, efficienza e applicabilità in scenari sempre più complessi.

Nel contesto di questa tesi, esse sono state fondamentali: l'Intelligenza Artificiale ha permesso di addestrare un modello modificato *ad hoc* per un compito differente dal solito, l'Object Detection è stata la metodologia utilizzata per la localizzazione delle regioni attive nei magnetogrammi, mentre le Bounding Box sono stato lo strumento pratico per delimitarle visivamente.

2.2 Python

Python è un linguaggio di programmazione ad alto livello, ampiamente utilizzato per la sua semplicità di sintassi, versatilità e la presenza di un ecosistema ricco di librerie. Spicca per i suoi punti di forza: adattabilità ad ogni piattaforma, interattività e dinamicità e protipizzazione rapida.

Nel contesto di questo progetto di tesi, Python è stato scelto come linguaggio principale per lo sviluppo degli script e l'esecuzione degli elaborazione dati, visione artificiale e deep learning. Si è rivelato essenziale per integrare le diverse componenti del sistema: dalla lettura dei dati scientifici HARP, alla pre-elaborazione delle immagini, fino all'addestramento ed inferenza del modello.



Figura 2.1: Logo di Python

2.2.1 Librerie ausiliarie

- **NumPy** [14]: è la libreria fondamentale per il calcolo scientifico in Python. Fornisce strutture dati per la gestione di array multidimensionali e una innumerevoli funzioni matematiche per operazioni vettoriali e matriziali. Nel progetto, è stata utilizzata per la manipolazione e preparazione dei dati numerici dei magnetogrammi, rappresentati come array multidimensionali, e per gestire le coordinate delle bounding box durante le fasi di addestramento e validazione.
- **SciPy** [15]: estende le funzionalità di NumPy, offrendo strumenti per operazioni matematiche avanzate come integrazione numerica, ottimizzazione, interpolazione e algebra lineare. Nel progetto, è stata utilizzata per supportare calcoli complessi durante l'analisi dei dati e l'elaborazione dei risultati, in particolare ha fornito strumenti di supporto per analisi statistiche preliminari sulle proprietà magnetiche delle regioni attive descritte nei dati HARP.
- **OpenCV** [16]: libreria open source per la computer vision e l'elaborazione delle immagini. Offre algoritmi ottimizzati per operazioni di filtraggio, rilevamento di caratteristiche, trasformazioni geometriche e manipolazione delle immagini. Nel progetto, è stata usata in primis perché viene utilizzata dal modello, ma anche per la pre-elaborazione e manipolazione dei magnetogrammi solari come, ad esempio, la normalizzazione dei valori e la conversione dei formati, rendendoli idonei per l'input da passare al modello.
- **Matplotlib** [17]: libreria di visualizzazione dati che permette la creazione di grafici statici, animati e interattivi. Consente di rappresentare chiaramente e in modo personalizzabile i risultati ottenuti, facilitando l'analisi e la documentazione visiva dei dati elaborati. Nel progetto, è stata la libreria indispensabile per visualizzare i risultati, ad esempio per disegnare le bounding box predette direttamente sui magnetogrammi solari e per generare grafici che mostrano l'andamento delle performance del modello.

2.3 Miniconda

Miniconda è una distribuzione minimale di Conda, un sistema di gestione degli ambienti e dei pacchetti Python. È stato utilizzato per creare ambienti isolati e riproducibili, permettendo di configurare ciascuno di essi con una propria versione di Python e delle librerie di terze parti necessarie (come PyTorch, NumPy, OpenCV).

Questa gestione consente di mantenere sotto controllo le dipendenze e garantisce che le specifiche versioni delle librerie siano compatibili fra loro, evitando conflitti che avrebbero potuto compromettere l'addestramento del modello. [18]



Figura 2.2: Logo di Miniconda

2.4 PyTorch

PyTorch è un framework open-source per il deep learning sviluppato da Meta AI. Esso fornisce un’interfaccia dinamica e intuitiva per la definizione e l’ottimizzazione delle reti neurali, ed è particolarmente apprezzato per il suo supporto nativo all’accelerazione tramite GPU [19].

In questo progetto di tesi, è stato il framework su cui si basa l’intero processo di addestramento ed inferenza del modello, offrendo la flessibilità desiderata e necessaria per apportare le modifiche atte all’adattamento del compito scientifico.



Figura 2.3: Logo di Pytorch

2.5 CUDA

CUDA (*Compute Unified Device Architecture*) è una piattaforma di calcolo parallelo sviluppata da NVIDIA, che consente l’utilizzo delle GPU per compiti generici di calcolo.

Data l’enorme mole di dati e la complessità del modello utilizzato, l’accelerazione hardware è stata indispensabile per ridurre i tempi sia di addestramento che di inferenza, rendendo possibile l’esecuzione di più esperimenti in tempi alquanto ragionevoli.

Nel contesto di questa tesi, la corretta configurazione di CUDA e la sua compatibilità con la versione di PyTorch si sono rivelate essenziali per il garantire il funzionamento ottimale dei modelli su GPU.[20].



Figura 2.4: Logo di CUDA

2.6 Norfair

Norfair è una libreria open source sviluppata in Python per il *tracking* multi-oggetto in tempo reale [21]. Essa è progettata per integrarsi modularmente con qualsiasi sistema di rilevamento che fornisca coordinate spaziali (ad esempio le coordinate (x, y) dei centri delle bounding box).

La libreria si occupa esclusivamente della parte di tracking, ovvero dell'associazione temporale dei rilevamenti (*detections*) frame per frame, mantenendo un identificatore univoco stabile per ogni oggetto monitorato nel video o nel flusso di immagini. Non includendo la componente di rilevamento, essa offre la flessibilità di utilizzare qualsiasi *detector* esterno (come YOLO, Detectron2, MediaPipe). Nel progetto sviluppato, svolge il ruolo chiave di "inseguire" le regioni attive nel tempo: una volta che YOLOv7 le ha identificate nel singolo magnetogramma, Norfair associa le rilevazioni tra frame consecutivi, dando la possibilità di studiare l'evoluzione di una specifica regione solare.



Figura 2.5: Logo di Norfair

2.6.1 Funzionamento e Caratteristiche

Il funzionamento di Norfair si basa sui seguenti concetti chiave:

- **Detections:** ogni oggetto rilevato in un fotogramma è rappresentato da coordinate spaziali, tipicamente il centro della bounding box o altri punti di interesse.
- **Tracks:** sono le tracce temporali che mantengono lo storico delle posizioni e degli identificatori degli oggetti nel tempo.
- **Funzione di distanza:** per associare i nuovi rilevamenti alle tracce esistenti, viene utilizzata una funzione di distanza personalizzabile (ad esempio euclidea o basata su caratteristiche visive).
- **Assegnazione:** ogni nuova detection viene assegnata alla traccia più vicina purché la distanza sia inferiore a una soglia predefinita (*distance threshold*); in caso contrario, viene creata una nuova traccia.

Ad ogni nuovo fotogramma, Norfair riceve l'elenco delle *detections*, aggiorna le tracce esistenti o ne crea di nuove e rimuove quelle non aggiornate per un certo numero di frame, garantendo così un tracking coerente anche in presenza di occlusioni temporanee o movimenti rapidi.

2.6.2 Applicazioni Tipiche

Grazie alla sua leggerezza e modularità, Norfair è utilizzata in molteplici ambiti, tra cui:

- **Videosorveglianza e sicurezza:** per monitorare flussi di persone o veicoli in ambienti affollati.
- **Analisi di movimento in sport e intrattenimento:** per tracciare giocatori e palla in tempo reale durante le competizioni.
- **Robotica autonoma:** per permettere ai robot di seguire oggetti o evitare ostacoli mobili.

Sebbene nato per contesti differenti da quello del lavoro di tesi, è stato dimostrato che Norfair possiede sufficiente versatilità per adattarsi efficacemente al dominio astrofisico, permettendo il monitoraggio continuo delle regioni attive sulla superficie solare.



Figura 2.6: Esempio di multi-tracking di Norfair

2.7 YOLOv7

YOLOv7 (*You Only Look Once version 7*) è uno dei modelli più recenti e avanzati per il rilevamento oggetti in tempo reale, appartenente alla famiglia di algoritmi YOLO. Sviluppato per ottenere alte prestazioni sia in termini di accuratezza che di velocità, si distingue per una serie di ottimizzazioni che lo rendono adatto ad innumerevoli applicazioni, anche su dispositivi con risorse computazionali limitate [5].

La scelta di tale modello è motivata dall'ottimo compromesso tra efficienza e precisione, una caratteristica cruciale nell'analisi di grandi moli di dati astrofisici.

2.7.1 Funzionamento e Caratteristiche

YOLOv7 è progettato per realizzare una *pipeline end-to-end*, che riceve in input un'immagine e restituisce in output le bounding box e le classi associate agli oggetti rilevati.

Il funzionamento, durante la fase di inferenza, si basa sulla suddivisione dell'immagine in griglie e sull'applicazione di convoluzioni profonde per produrre:

- Le coordinate delle bounding box.
- La classe predetta per ogni oggetto rilevato.
- La probabilità (*confidenza*) associata a ciascuna predizione.

Si tratta del cuore del sistema di rilevamento sviluppato nel presente lavoro di tesi, necessario per il successivo tracciamento.

L'architettura separa nettamente la configurazione degli iperparametri e degli *anchor* dai pesi pre-addestrati e offre diverse caratteristiche avanzate:

- **Efficienza:** elevata precisione nel rilevamento pur mantenendo alte velocità di inferenza.
- **Versatilità:** supporto per *Object Detection*, *Instance Segmentation* e *Pose Estimation*.
- **Scalabilità:** disponibilità di architetture derivate (ad esempio YOLOv7-tiny, YOLOv7-X, YOLOv7-W6) adattabili a diverse situazioni e capacità di calcolo.
- **Ottimizzazione Hardware:** supporto nativo per GPU CUDA, che consente un'inferenza efficiente su hardware NVIDIA.
- **Multitasking:** possibilità di usare *multi-head* per compiti multitask (ad esempio detection + keypoints).

In fase di addestramento, inoltre, il modello utilizza tecniche avanzate di ottimizzazione che migliorano l'apprendimento, senza aumentare la complessità dell'inferenza.

2.7.2 Applicazioni Tipiche

YOLOv7 trova impiego in numerosi ambiti, tra cui:

- **Videosorveglianza e sicurezza pubblica.**
- **Veicoli autonomi e sistemi ADAS.**
- **Controllo qualità industriale.**
- **Analisi sportiva e tracciamento di giocatori.**
- **Ricerca scientifica.**

2.7.3 Avanzamenti nei Rilevatori in Tempo Reale

YOLOv7 rappresenta un significativo passo avanti nel campo del *real-time object detection*. L’architettura introduce il concetto di **Trainable Bag-of-Freebies**: un insieme di moduli e strategie ottimizzate che migliorano significativamente la fase di addestramento senza incrementare il costo computazionale durante l’inferenza.

Tutti i modelli sono stati addestrati da zero sul dataset COCO, senza utilizzare pesi pre-addestrati o dati esterni [5].

E-ELAN: Extended Efficient Layer Aggregation Networks

Per migliorare l’apprendimento delle rappresentazioni senza interrompere il percorso di propagazione del gradiente, YOLOv7 introduce una nuova *backbone* denominata **E-ELAN**.

A differenza delle architetture tradizionali, E-ELAN mantiene fissa la struttura di transizione, ma agisce sui blocchi computazionali utilizzando:

- **Group Convolution**: per suddividere i canali in gruppi.
- **Shuffle & Merge Cardinality**: per mescolare e fondere le *feature map* provenienti dai diversi gruppi.

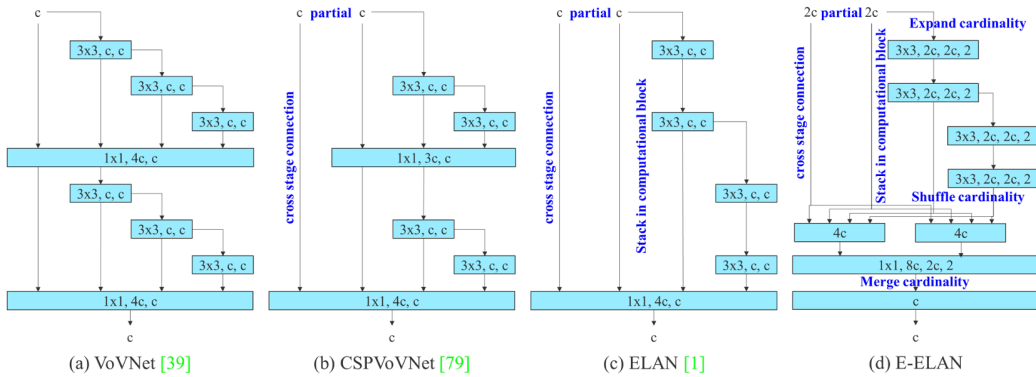


Figura 2.7: L’architettura E-ELAN mantiene invariato il percorso di propagazione del gradiente dell’architettura originale, ma utilizza convoluzioni di gruppo per aumentare la cardinalità delle feature aggiunte. Le feature provenienti da diversi gruppi vengono combinate attraverso operazioni di mescolamento e fusione, migliorando così la varietà delle rappresentazioni apprese e l’efficienza nell’uso dei parametri e del calcolo.

Compound Scaling

Il ridimensionamento dei modelli avviene, solitamente, modificando profondità, larghezza o risoluzione.

Tuttavia, nei modelli basati su concatenazione (come YOLO), scalare solo la profondità causa una variazione indesiderata dei canali di input nei layer successivi, rompendo l'equilibrio computazionale.

Per risolvere questo problema, YOLOv7 propone il **Compound Scaling**, una tecnica che scala profondità e larghezza in modo congiunto: quando si scala la profondità di un blocco computazionale, si scala simultaneamente la larghezza dei layer di transizione.

Le relazioni sono definite come:

$$d' = d \cdot \alpha$$

$$w' = w \cdot \beta$$

dove α e β sono fattori empiricamente scelti per mantenere l'architettura ottimale al variare della scala del modello.

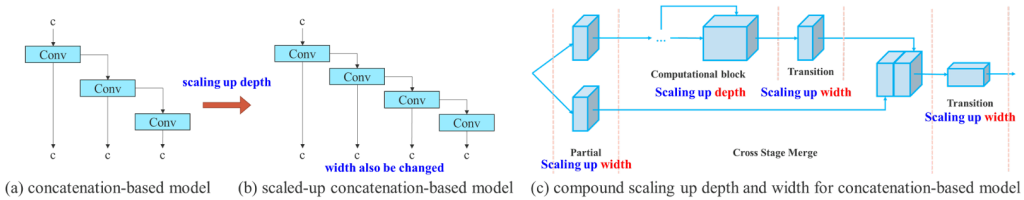


Figura 2.8: Comportamento e la soluzione proposta per lo scaling nei modelli basati su concatenazione, composta da tre sottoparti: (a): Dimostra che scalare solo la profondità (depth) in un blocco concatenativo fa aumentare la larghezza del layer di uscita; (b): Mostra che l'output più largo influenza la transizione successiva, creando problemi strutturali; (c): Presenta la soluzione proposta: uno scaling combinato (compound scaling), in cui si scala la profondità nel blocco e la larghezza nei layer di transizione per mantenere la coerenza architettonica.

Planned Re-parameterized Convolution

YOLOv7 ottimizza le convoluzioni ri-parametrizzate (*RepConv*), che combinano diverse operazioni in un unico layer per l'inferenza.

Gli autori hanno osservato che la connessione identità -tipica delle RepConv standard- degrada le prestazioni, se applicata indiscriminatamente su connessioni residue o concatenate. La soluzione adottata è, pertanto, la **Planned RepConv**, che utilizza una variante priva di identità (*RepConvN*) nei layer sensibili, garantendo la compatibilità strutturale con architetture come ResNet o DenseNet.

Label Assignment: Coarse-to-Fine Lead Guided

Una delle innovazioni più rilevanti riguarda la strategia di assegnazione delle etichette (**label assignment**), durante l'addestramento, con supervisione profonda (*deep supervision*).

Il modello utilizza due "teste" (*heads*):

- **Lead Head:** responsabile dell'output finale, genera predizioni raffinate.
- **Auxiliary Head:** assiste l'addestramento nei livelli intermedi, ricevendo etichette guidate dal lead head, non direttamente dal ground truth.

La strategia **Coarse-to-Fine** prevede che il Lead Head guida l'apprendimento dell'Auxiliary Head:

1. Il Lead Head genera etichette di alta precisione per se stesso.
2. Dalle predizioni del Lead Head vengono derivate etichette grezze per l'Auxiliary Head. Per evitare che quest'ultima faccia *overfitting*, viene applicato un vincolo superiore (*Upper Bound Constraint*) che limita l'assegnazione delle etichette in base alla distanza dal centro dell'oggetto:

$$\text{Score}_{\text{coarse}} = \max \left(0, 1 - \frac{\text{dist}}{\text{thresh}} \right)$$

Questo permette alla testa ausiliaria di apprendere meglio le informazioni contestuali, migliorando la capacità di generalizzazione del modello (*recall*), mentre la testa principale si focalizza sulla precisione.

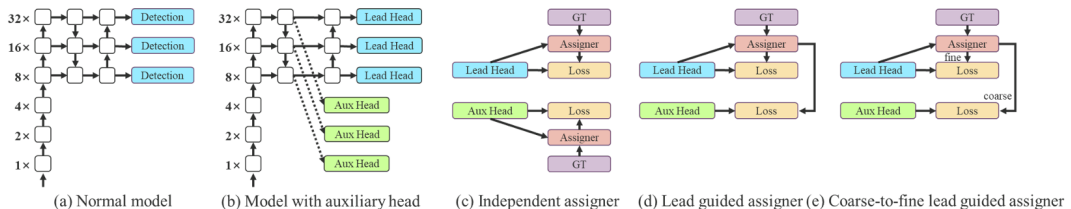


Figura 2.9: Assegnazione di etichette coarse per l'head ausiliario e fine per il lead head. Rispetto al modello standard (a), lo schema (b) include una testa ausiliaria. Diversamente dall'assegnazione indipendente delle etichette (c), sono proposte due nuove strategie: (d) assegnazione guidata dal lead head e (e) assegnazione guidata coarse-to-fine. Quest'ultima genera contemporaneamente le etichette per il training del lead head e della testa ausiliaria combinando le predizioni del lead head con il ground truth.

Altri Trainable-of-Freebies

Oltre alle innovazioni architettonali, YOLOv7 integra una serie di "trucchi" di addestramento (*Bag-of-Freebies*) ottimizzati per massimizzare le prestazioni senza costi aggiuntivi:

- **Batch Normalization fusa:** durante l'inferenza, i layer di Batch Normalization vengono fusi con i layer convoluzionali, semplificando la struttura della rete e riducendo la latenza.

- **Implicit Knowledge**: un concetto derivato da YOLOR, qui semplificato tramite l’uso di vettori statici pre-calcolati che vengono combinati con le feature map.
- **EMA Model (Exponential Moving Average)**: utilizzo di una media mobile esponenziale dei pesi del modello durante il training per ottenere il modello finale di test, tecnica che aumenta la robustezza e la stabilità delle predizioni.

Confronto delle Prestazioni

Le innovazioni introdotte permettono a YOLOv7 di superare i modelli precedenti. Come evidenziato nella Tabella 2.1, a parità di risoluzione, YOLOv7 ottiene risultati migliori in mAP, mantenendo un *framerate* (FPS) più elevato rispetto a YOLOR e YOLOv5.

Modello	FPS	mAP	Parametri	FLOPs
YOLOv5-X	83	50.7%	86.7M	205.7G
YOLOR-CSP-X	87	52.7%	96.9M	226.8G
YOLOv7-X	114	52.9%	71.3M	189.9G

Tabella 2.1: Confronto tra YOLOv7 ed altri modelli stato dell’arte (640×640).

La Tabella 2.2 dimostra, inoltre, l’efficacia del Compound Scaling: rispetto allo scaling tradizionale (solo larghezza o solo profondità), il metodo combinato ottiene il miglior risultato in accuratezza con un incremento minimo di calcoli.

Modello	mAP	Parametri	FLOPs
Base	51.7%	47.0M	125.5G
Solo larghezza	52.4%	73.4M	195.5G
Solo profondità	52.7%	69.3M	187.6G
Compound (YOLOv7-X)	52.9%	71.3M	189.9G

Tabella 2.2: Confronto dell’efficienza del Compound Scaling e metodi di scaling tradizionali.

2.8 Dati

2.8.1 Definizione e significato dei Dati Osservativi

Il Solar Dynamics Observatory (SDO) è una missione spaziale della NASA, lanciata nel 2010, dedicata allo studio continuo dell’attività solare e dei suoi effetti sulla Terra e sullo spazio circumterrestre [22]. Tra gli strumenti scientifici a bordo di SDO, il Helioseismic and Magnetic Imager (HMI) fornisce accurate misure del campo magnetico fotosferico sull’intero disco solare, denominate magnetogrammi, con elevata risoluzione spaziale e temporale [23]. I magnetogrammi hanno

una dimensione di 4096×4096 pixel e costituiscono una base osservativa fondamentale per lo studio delle strutture magnetiche solari e della loro evoluzione, in particolare delle regioni attive.

Le regioni attive solari rappresentano manifestazioni localizzate di intensa attività magnetica sulla fotosfera e sono caratterizzate da forti concentrazioni di flusso magnetico. Esse sono comunemente associate alla presenza di macchie solari e costituiscono le sedi principali di fenomeni energetici quali brillamenti solari ed espulsioni di massa coronale [24]. Nei magnetogrammi, le regioni attive si distinguono chiaramente dal fondo della fotosfera quieta grazie a valori elevati del campo magnetico, con polarità opposte ben definite e spazialmente correlate.

La pipeline di HMI identifica e traccia automaticamente le regioni di attività magnetica, denominate **HMI Active Region Patches (HARP)**. Ogni HARP è numerata ed è associata a una sequenza temporale di mappe (*bitmaps*) sufficientemente estesa da contenere l'intera evoluzione spaziale della regione attiva durante la sua visibilità sul disco solare. Ciascuna HARP corrisponde a una singola regione attiva o a un complesso di regioni attive ed è tracciata in modo coerente nel tempo. I dati HARP forniscono principalmente informazioni di tipo geometrico sulla regione attiva, mantenendo il riferimento alla sua posizione sul disco solare.

2.8.2 Finalità e utilizzi

I magnetogrammi prodotti da HMI permettono di analizzare direttamente la distribuzione e l'intensità del campo magnetico fotosferico, che rappresenta la grandezza fisica fondamentale alla base della formazione e dell'evoluzione delle regioni attive.

La disponibilità di osservazioni *full-disk*, continue nel tempo e distribuite su lunghe scale temporali, consente non solo l'identificazione delle regioni attive sull'intero disco solare, ma anche il loro monitoraggio durante le diverse fasi del ciclo solare. Le HMI Active Region Patches (HARP) forniscono inoltre una descrizione strutturata delle regioni attive, permettendo di seguirne l'evoluzione spaziale e temporale in modo coerente e sistematico.

In questo lavoro, tali dati sono utilizzati come base osservativa per lo sviluppo di metodologie di rilevamento e tracciamento automatico delle regioni attive. L'informazione magnetica contenuta nei magnetogrammi e la segmentazione fornita dalle HARP rendono infatti questi dati particolarmente adatti ad applicazioni di object detection e tracking temporale, consentendo lo studio dell'evoluzione delle regioni attive.

2.8.3 Origine, Selezione e Organizzazione del Dataset

I dati utilizzati in questo lavoro sono disponibili pubblicamente tramite il Joint Science Operations Center (JSOC). I magnetogrammi full-disk sono forniti dalla serie `hmi.M_720s`, mentre l'informazione geometrica relativa alle regioni attive (patch tracciate dalla pipeline di HMI) è contenuta nella serie `hmi.Mharp_720s`.

Poiché l'archivio HMI copre un intervallo temporale molto esteso (oltre quindici anni), è stata definita una strategia di selezione volta a costruire un dataset rappresentativo ma computazionalmente gestibile.

La selezione temporale è stata guidata dall'andamento dell'attività solare durante il **Ciclo Solare 24**, ossia il ciclo quasi periodico di circa 11 anni che descrive la variazione dell'attività magnetica del Sole, comunemente tracciata attraverso il numero di macchie solari. Durante il massimo di un ciclo solare si osserva una maggiore attività magnetica, che si traduce in un numero più elevato di regioni attive. In particolare, il campionamento è stato limitato a un sottointervallo del ciclo (anni 2011-2019) e reso più denso nei periodi di maggiore attività: gli anni 2012-2014 sono stati intenzionalmente sovraccampionati rispetto agli altri, così da aumentare la presenza di esempi contenenti regioni attive e una variabilità magnetica più marcata.

Successivamente, i dati sono stati suddivisi in training, validation e test set, evitando sovrapposizioni temporali tra i diversi insiemi. La procedura (implementata dalla dottoranda Elizabeth Doria Rosales nel Codice A.1 in Appendice A) prevede la selezione di finestre temporali di durata 90 giorni, all'interno delle quali vengono assegnati segmenti temporali consecutivi ai tre sottoinsiemi secondo le proporzioni 70% / 15% / 15%. Tra un sottoinsieme e il successivo viene inoltre introdotto un intervallo di separazione di 15 giorni, riducendo ulteriormente il rischio di *data leakage* dovuto alla persistenza e all'evoluzione delle stesse strutture magnetiche.

La distribuzione risultante dei segmenti temporali rispetto all'andamento del ciclo solare è mostrata in Figura 2.10

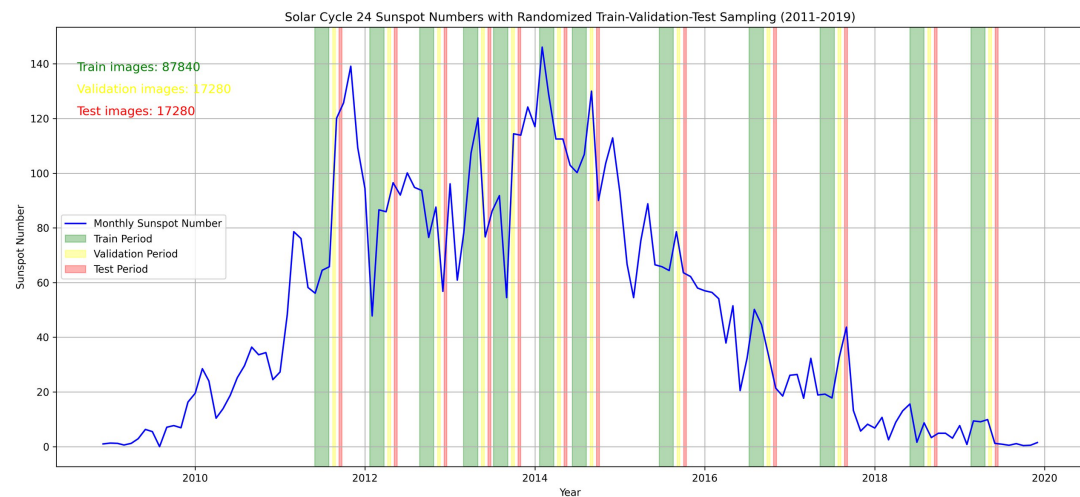


Figura 2.10: Andamento del numero di macchie solari durante il Ciclo 24 (2011-2019). Le aree colorate indicano gli intervalli temporali selezionati per il Training (verde), la Validazione (giallo) e il Test (rosso).

Il risultato di questa procedura è un insieme di periodi temporalmente disgiunti, bilanciati rispetto alle diverse fasi del ciclo solare e già strutturati nei

rispettivi split, salvati in un file di configurazione (CSV) contenente, per ciascun sottoinsieme, le date di inizio e fine dei segmenti selezionati. Per completezza, la Tabella 2.3 riporta l’elenco completo degli intervalli temporali generati.

Split	Start	End
Train	2011-05-30	2011-07-30
Validation	2011-08-15	2011-08-27
Test	2011-09-12	2011-09-24
Train	2012-01-22	2012-03-23
Validation	2012-04-08	2012-04-20
Test	2012-05-06	2012-05-18
Train	2012-08-23	2012-10-23
Validation	2012-11-08	2012-11-20
Test	2012-12-06	2012-12-18
Train	2013-02-28	2013-04-30
Validation	2013-05-16	2013-05-28
Test	2013-06-13	2013-06-25
Train	2013-07-07	2013-09-06
Validation	2013-09-22	2013-10-04
Test	2013-10-20	2013-11-01
Train	2014-01-21	2014-03-23
Validation	2014-04-08	2014-04-20
Test	2014-05-06	2014-05-18
Train	2014-06-10	2014-08-10
Validation	2014-08-26	2014-09-07
Test	2014-09-23	2014-10-05
Train	2015-06-19	2015-08-19
Validation	2015-09-04	2015-09-16
Test	2015-10-02	2015-10-14
Train	2016-07-10	2016-09-09
Validation	2016-09-25	2016-10-07
Test	2016-10-23	2016-11-04
Train	2017-05-11	2017-07-11
Validation	2017-07-27	2017-08-08
Test	2017-08-24	2017-09-05
Train	2018-06-01	2018-08-01
Validation	2018-08-17	2018-08-29
Test	2018-09-14	2018-09-26
Train	2019-02-18	2019-04-20
Validation	2019-05-06	2019-05-18
Test	2019-06-03	2019-06-15

Tabella 2.3: Elenco completo degli intervalli temporali selezionati per il Ciclo Solare 24 (2011-2019), suddivisi in Training, Validation e Test, come definiti nel file di configurazione `solar_cycle_splits.csv`.

Questa organizzazione costituisce la base per il successivo scaricamento dei dati HMI corrispondenti e delle informazioni associate alle regioni attive identificate, eseguito tramite il Codice A.3 in Appendice A.

2.8.4 Applicazioni nel presente lavoro

Nel contesto di questa tesi, i dati HARP vengono impiegati per delineare bounding box attorno alle regioni attive nelle immagini solari, consentendo l’isolamento automatico delle aree di interesse per l’analisi. Essi permettono inoltre di monitorare l’evoluzione temporale di ciascuna regione, così da individuare variazioni morfologiche e magnetiche nel tempo. Infine, i dati vengono utilizzati per studiare la correlazione tra le regioni attive e l’insorgenza di flare solari, contribuendo alla comprensione dei processi fisici che ne regolano la genesi.

2.8.5 Struttura del file

Ogni file è denominato con `hmi_magnetogram_YYYY_MM_DD_MIN_HH.h5` e contiene due gruppi:

- `harp/metadata`, al cui interno sono presenti più sottogruppi `HARP_XXXX`, ognuno dei quali corrisponde ad una regione attiva ed ospita una ricca collezione di metadati relativi alla regione stessa, ad esempio: coordinate, estensione e localizzazione della regione nel Sole, qualità dei dati, versioni del software e informazioni sul satellite..
- `magnetogram`, che include i dati scientifici sotto forma di una matrice bidimensionale rappresentativa del campo magnetico fotosferico (ossia l’immagine del disco solare che descrive la distribuzione del campo magnetico), e i metadati associati, contenenti le informazioni descrittive relative al magnetogramma stesso.

2.8.6 Metadati HARP di interesse

Poiché ogni regione attiva ha decine di attributi, si riportano nella Tabella 2.4 esclusivamente quelli più significativi ai fini del lavoro di tesi:

Campo	Significato
HARPNUM	Numero identificativo univoco della regione attiva solare (HARP)
CRPIX1, CRPIX2	Coordinate (in pixel) dell'angolo in basso a sinistra della regione nella CCD HMI
CRSIZE1, CRSIZE2	Larghezza e altezza (in pixel) del bounding box della regione attiva
AREA	Area della regione proiettata sul disco solare, espressa in micro-emisferi solari
T_REC	Informazioni temporali della serie

Tabella 2.4: Descrizione dei metadati principali utilizzati per identificare, localizzare e caratterizzare le regioni attive HARP nei magnetogrammi solari.

La selezione dei campi elencati nella Tabella 2.4 è stata guidata dalla necessità di delimitare spazialmente e ordinare temporalmente le regioni attive solari sul disco solare, al fine di sviluppare un sistema automatico di rilevamento e tracciamento delle stesse. Di seguito vengono motivate le scelte effettuate:

- **HARPNUM** è il codice univoco associato a ciascuna HARP ed è utilizzato come chiave primaria per il raggruppamento delle osservazioni successive nel tempo. Questo campo è essenziale per la costruzione di sequenze temporali coerenti, da fornire a moduli di tracking multi-frame.
- **CRPIX1, CRPIX2** e **CRSIZE1, CRSIZE2** definiscono il bounding box della HARP all'interno del magnetogramma full-disk. Tali coordinate sono utilizzate per delimitare spazialmente le regioni attive, le cui posizioni vengono successivamente convertite in coordinate normalizzate. Questi campi risultano quindi fondamentali sia per la preparazione del dataset di addestramento sia per il post-processing delle predizioni.
- **AREA** fornisce una misura dell'estensione fisica della regione attiva, espressa in micro-emisferi solari. Questo parametro può essere impiegato per filtrare regioni di dimensioni molto ridotte o affette da rumore, spesso non associate a eventi di flare significativi.
- **T_REC** rappresenta il timestamp del record ed è utilizzato per ordinare cronologicamente i dati corrispondenti a una determinata HARP.

L'insieme di questi metadati consente di costruire un dataset strutturato e annotato, in cui ogni regione attiva è localizzata, descritta magneticamente e tracciata nel tempo, con possibilità di associare ground truth fisiche (flare, classi magnetiche) per l'addestramento e la valutazione di modelli di detection e *forecasting*.

Capitolo 3

Applicazione realizzata

Nel presente capitolo, è descritta dettagliatamente l'intera architettura software del sistema sviluppato, focalizzandosi sulle strategie metodologiche adottate per trasformare un framework di Object Detection generico in uno strumento idoneo all'utilizzo di dati astrofisici.

L'analisi si concentra sull'adattamento strutturale del modello YOLOv7. In particolare, è illustrato come esso sia stato esteso per processare i magnetogrammi solari, integrando moduli specifici per la gestione del formato scientifico e per il tracciamento temporale delle predizioni.

Successivamente, viene discussso un approccio alternativo, basato sull'adattamento del dato piuttosto che del modello: un processo di pre-elaborazione che converte i dati scientifici in un formato standard, rendendoli compatibili con l'architettura originale, senza alterarne la struttura interna.

3.1 Adattamento del modello YOLOv7

L'utilizzo di un modello di Object Detection generico come YOLOv7 nel dominio dell'astrofisica solare pone una sfida architettonica notevole: l'incompatibilità del framework con i formati di dati scientifici.

In questa sezione, è illustrata la metodologia adottata per estendere le capacità di input del modello, abilitando il sistema all'interpretazione dei dati HARP. L'obiettivo è stato quello di superare i vincoli imposti dai formati di immagine tradizionali (attesi dal modello), garantendo che l'informazione fisica contenuta nei magnetogrammi venisse conservata integralmente durante il processo di caricamento.

3.1.1 Implementazione di un Data Loader per Dati Scientifici

Come ampiamente anticipato, l'architettura di YOLOv7 è vincolata all'uso di immagini standard (es. JPEG, PNG) e annotazioni testuali esplicite. I dati HARP, al contrario, presentano una complessità strutturale data da:

- **Formato contenitore:** i dati sono racchiusi da un formato HDF5 (.h5), ovvero un file system gerarchico pensato per dati scientifici. All'interno del singolo file, i dati sono suddivisi in gruppi distinti e non solo come una semplice immagine.
- **Annotazioni implicite:** le coordinate delle bounding box non sono fornite esplicitamente, bensì è necessaria l'estrazione, partendo dagli attributi incastonati nella gerarchia del file.

Per colmare tale divario, è stato progettato ed implementato un **modulo di caricamento dati personalizzato**, che agisce come interfaccia tra il formato scientifico e il tensore di input richiesto dal modello. Il componente implementa due strategie metodologiche per garantire efficienza e stabilità: un meccanismo di *Caching dei Metadati* per ottimizzare i tempi di avvio e un sistema di *gestione delle eccezioni* per ignorare i file corrotti in fase di addestramento.

Fase di Inizializzazione e Caching

Questa fase gestisce la pre-elaborazione di tutti i metadati del dataset. Per evitare la ridondanza di operazioni costose ad ogni avvio del training, è stata implementata una logica di *caching*. I passi sono i seguenti:

1. **Verifica della Cache:** Il sistema verifica preventivamente l'esistenza di strutture dati contenenti le etichette già elaborate e le dimensioni originali dell'immagine.
2. **Caricamento Veloce (*Cache Hit*):** Se i file di cache sono presenti, le informazioni sono caricate immediatamente in memoria, riducendo i tempi di inizializzazione: questo rende il processo di sperimentazione molto più agile.
3. **Individuazione (*Cache Miss*):** In assenza di cache, (prima esecuzione), il sistema scansiona ogni file scientifico, eseguendo le seguenti operazioni:
 - (a) **Estrazione:** accesso alla struttura interna del file per recuperare le dimensioni del magnetogramma;
 - (b) **Validazione dei Metadati:** viene iterato ogni sottogruppo, ciascuno dei quali rappresenta una regione attiva, sottoponendolo a tre controlli di integrità dell'etichetta:
 - i. **Completezza:** verifica della presenza di tutti gli attributi necessari per la definizione delle bounding box: coordinate x e y del pixel di riferimento della regione, larghezza e altezza in pixel della regione. Se anche solo uno di questi attributi manca, la regione è scartata.
 - ii. **Consistenza Dimensionale:** scarto delle annotazioni con dimensioni nulle o negative.

- iii. **Limiti (*Boundary Check*)**: si esegue un controllo sulle coordinate normalizzate rispetto al centro della bounding box, escludendo dal dataset le annotazioni il cui baricentro ricade esternamente ai confini dell'immagine (valori non compresi tra 0.0 e 1.0). Questo filtraggio garantisce la validità spaziale delle regioni attive, preservando tuttavia quelle parzialmente visibili ai bordi purché il loro nucleo centrale sia all'interno del campo visivo.
 - (c) **Memorizzazione**: le coordinate validate sono normalizzate e salvate in memoria.
4. **Serializzazione**: Al termine del processo, i dati strutturati sono salvati su disco per essere riutilizzati nelle esecuzioni future.

Procedura di Accesso e Trasformazione del Dato

Durante la fase di addestramento, il modulo è interrogato ripetutamente dai processi paralleli per caricare i singoli magnetogrammi.

La procedura segue un flusso di trasformazione rigoroso:

1. **Lettura del Dato**: Il dato grezzo viene estratto dal file scientifico, con il supporto di meccanismi di controllo per gestire eventuali errori di Input/Output.
2. **Pre-processing**: Se la lettura ha successo, il magnetogramma subisce una catena di trasformazioni per diventare un input valido per la rete neurale:
 - (a) **Trattamento delle Anomalie Numeriche**: I dati scientifici possono contenere valori non validi come `Nan` (Not A Number) o `inf` (infinito), spesso causati da errori di misurazione o di calcolo. Non essendo valori numericamente stabili, se passati ad una rete neurale, causerebbero un fallimento nel processo di training. Per questo, è eseguita una pulizia preventiva che sostituisce le eventuali occorrenze di tali valori con il valore neutro (0.0).
 - (b) **Clipping Dinamico**: I magnetogrammi presentano una notevole variazione di intensità tra le diverse aree, ma i valori più significativi per l'identificazione delle regioni attive si trovano in un intervallo specifico, mentre valori oltremodo alti o bassi rappresentano -nella maggior parte dei casi- rumori. Per questo motivo è necessaria un'operazione di *clipping*: si "tagliano" i valori del magnetogramma, forzando tutti i pixel al di fuori a rientrare nell'intervallo predefinito, aiutando in questo modo il modello a concentrarsi sulle caratteristiche più significative.
 - (c) **Normalizzazione Min-Max**: Poiché le reti neurali apprendono più efficientemente quando i dati in input sono scalati in un intervallo piccolo, si applica una normalizzazione che riscalza tutti i valori dei pixel all'interno dell'intervallo [0, 1], garantendo la stessa scala di valori che accelera la convergenza del training.

- (d) **Ridimensionamento:** Poiché YOLOv7 richiede una dimensione di input standard (impostata a 640x640), i magnetogrammi sono ridimensionati, utilizzando un’interpolazione lineare che rappresenta un ottimo compromesso tra qualità visiva e velocità di calcolo.
 - (e) **Conversione a 3 Canali:** Dato che YOLOv7 accetta unicamente immagini a tre canali (RGB), è stato necessario rendere i magnetogrammi (a singolo canale) compatibili, per cui il canale unico è stato duplicato tre volte. Ciò significa che non viene aggiunta informazione, ma c’è un semplice riadattamento del dato all’input richiesto dal modello. Infine, avviene la conversione in un tensore PyTorch.
3. **Gestione delle Anomalie:** Se una qualsiasi operazione sul file fallisce (file illeggibile o corrotto), viene cattura l’eccezione. Piuttosto che interrompere l’intero training, lo script stampa a video un avviso con il nome del file problematico e restituisce un tensore di zeri (corrispondente ad un’immagine nera).

L’adozione di questa architettura rende l’intero processo efficiente in termini di tempo e robusto in caso di errori nel dataset. Il tutto è stato fondamentale per l’intero progetto: i dati scientifici sono stati utilizzati come se fossero immagini. Il dettaglio implementativo completo della classe è riportato nel Codice A.2 in Appendice A

3.1.2 Integrazione del Data Loader nella Logica di Training

La predisposizione del modulo di caricamento dati è un passo necessario, ma non sufficiente per l’adattamento completo del modello. Affinchè la nuova logica di gestione dei dati scientifici divenga operativa, è stato necessario integrarla organicamente nel flusso di lavoro.

Di conseguenza, la strategia adottata ha previsto un’estensione strutturale dei motori di addestramento e validazione. L’obiettivo è stato quello di rendere l’architettura capace di accogliere e processare i tensori magnetografici, gestendo le specificità del formato scientifico senza compromettere la stabilità delle procedure di ottimizzazioni originali.

Adattamento della Logica di Training

L’estensione del modulo di caricamento dati ha richiesto un adeguamento strutturale del motore di addestramento. L’obiettivo primario è stato quello di rendere il modello capace di selezionare dinamicamente la strategia di ingestione dei dati più appropriata - standard o scientifica - senza alterare il flusso logico del ciclo di addestramento. Per ottenere ciò, sono state apportate le seguenti strategie architettoniche:

- **Integrazione Modulare delle Risorse**

Il modulo di caricamento personalizzato è stato integrato nell’ambiente

di addestramento in modo condizionale, rendendo le classi disponibili al sistema solo al momento dell'inizializzazione del dataset, garantendo una gestione pulita delle dipendenze.

Vedi Codice A.4 in Appendice A.

- **Strategia di Assemblaggio dei Batch (*Batch Collation*)**

Di fondamentale importanza è stata l'implementazione di una logica di aggregazione personalizzata per gestire la corretta formazione dei lotti di dati (*batch*). Quando il sistema raggruppa più campioni, è fondamentale mantenere un'associazione univoca tra tensori magnetici e relative etichette spaziali. La procedura sviluppata assegna un indice posizionale a ciascuna annotazione all'interno del batch, risolvendo le ambiguità strutturali tipiche dei dati complessi. Questo ordinamento permette al modello di correlare le predizioni con le *ground truth* per ogni singolo magnetogramma, passaggio essenziale per il calcolo della funzione di perdita (*loss function*).

La logica di assemblaggio del batch è illustrata nel Codice A.5 in Appendice A.

- **Attivazione Contestuale tramite Configurazione**

Per garantire una completa flessibilità del sistema, piuttosto che utilizzare un argomento da riga di comando, è stato implementato un meccanismo di *attivazione contestuale* basato sul file di configurazione del dataset. All'avvio, il sistema analizza i metadati di configurazione: la presenza di un identificatore specifico (*flag*) istruisce il framework sulla natura scientifica del dato, innescando automaticamente il meccanismo dedicato senza richiedere interventi manuali.

Quanto descritto è mostrato nel Codice A.6 in Appendice A.

- **Selezione Dinamica del Flusso di Caricamento Dati**

Il cambiamento più significativo riguarda la logica di inizializzazione del flusso dati. Grazie al meccanismo di riconoscimento descritto al punto precedente, è stata inserita una struttura di controllo che opera a runtime:

- in presenza di dati scientifici, il sistema ignora la funzione di caricamento standard ed istanzia un modulo personalizzato, con la strategia di assemblaggio specifica;
- in caso contrario, il sistema mantiene inalterato il suo comportamento originale.

La selezione condizionale del Data Loader è riportata nel Codice A.7 in Appendice A.

- **Normalizzazione Condizionale**

Una modifica critica ha riguardato il pre-processing interno al ciclo di addestramento. La logica originale di YOLOv7 presuppone che il data loader restituisca immagini in formato 8-bit (valori da 0 a 255) e, pertanto, applica una normalizzazione dividendo il tensore delle immagini per 255.0.

Poiché la logica personalizzata esegue già una normalizzazione, tale ulteriore divisione avrebbe reso i dati inadeguati per l'uso. Grazie all'utilizzo del medesimo flag, è stata introdotta una logica condizionale che salta tale operazione di divisione per i magnetogrammi, mantenendola attiva per i dataset standard.

La disattivazione della normalizzazione standard è visibile nel Codice A.8 in Appendice A.

L'approccio metodologico adottato segue il paradigma del *feature flagging*: una tecnica di ingegneria del software che permette di attivare funzionalità specifiche di un'applicazione senza dover apportare modifiche significative. Questo ha garantito l'estensione delle capacità di YOLOv7 in modo modulare, mantenendo la totale retrocompatibilità con l'architettura originale e assicurando che la nuova logica sia eseguita solo quando esplicitamente richiesto dal contesto dei dati.

Estensione della Logica di Validation

Per mantenere una coerenza all'interno dell'intero ciclo di apprendimento, è stato necessario estendere le funzionalità del motore di validazione. Un modello addestrato su dati scientifici deve essere necessariamente validato utilizzando le medesime procedure di pre-elaborazione e caricamento adottate durante il training. Per questo motivo, sono state implementate modifiche strutturali speculari rispetto a quelle introdotte in fase di addestramento:

- **Integrazione delle Risorse di Validazione**

Analogamente alla fase di training, le classi necessarie per la gestione di dati scientifici sono state rese disponibili all'ambiente di validazione tramite importazioni condizionali, assicurando che il modulo di caricamento specifico sia accessibile solo quando richiesto dalla configurazione.

Vedi Codice A.9 in Appendice A.

- **Assemblaggio Semplificato dei Batch**

È stata definita una logica di aggregazione dei dati ottimizzata per la fase di inferenza. A differenza del training, dove l'associazione indice-etichetta è cruciale per il calcolo della *loss*, la validazione richiede un processo più snello. Pertanto, è stata implementata una procedura semplificata, con lo scopo di raggruppare i tensori caricati in un unico batch standard, massimizzando l'efficienza computazionale durante la valutazione.

L'implementazione semplificata è nel Codice A.10 in Appendice A.

- **Flag di Controllo Interno**

La funzione principale di test è stata estesa per accettare un nuovo parametro di controllo (*flag*) booleano. Quest'ultimo è trasmesso dal motore di addestramento al termine di ogni epoca per segnalare la natura dei dati in arrivo. Tale indicatore non attiva il caricamento dei dati scientifici, bensì governa i comportamenti successivi del sistema (ad esempio la normalizzazione delle immagini e la visualizzazione dei risultati), assicurando che i

dati scientifici vengano trattati con le procedure appropriate.

La modifica alla firma della funzione è mostrata nel Codice A.11 in Appendice A.

- **Creazione Dinamica del Data Loader**

Per conferire flessibilità allo script di validazione, è stato implementato un blocco di istanziazione dinamica. Il sistema legge il file di configurazione del dataset e, in base alla presenza della chiave specifica per i dati scientifici:

- in caso positivo, istanzia il modulo personalizzato con la strategia di assemblaggio semplificata;
- in caso negativo (o in assenza della chiave), esegue la funzione di caricamento originale, mantenendo la totale compatibilità con i dataset di immagini tradizionali.

La logica di creazione del loader è nel Codice A.12 in Appendice A.

- **Normalizzazione Condizionale**

Per evitare alterazioni numeriche dei dati, la normalizzazione dei pixel è applicata in modo selettivo. Mentre le immagini standard (0-255) richiedono una divisione per essere portate nel range unitario, i magnetogrammi arrivano al modulo di validazione già normalizzati. Grazie al `flag di controllo`, il sistema inibisce la divisione standard in presenza di dati scientifici, evitando una doppia normalizzazione che comprometterebbe la corretta scala dei valori.

Il bypass della divisione per 255 è nel Codice A.13 in Appendice A.

- **Riscalamento delle Coordinate**

Un intervento critico ha riguardato la logica di proiezione delle bounding box (sia quelle predette dal modello che quelle reali). Il modulo personalizzato restituisce le dimensioni originali in un formato diretto (lista `[H, W]`), differente dalla struttura nidificata utilizzata dal data loader standard. Per allineare il codice a questo formato, le chiamate alla funzione di riscalamento sono state semplificate, rimuovendo gli indici non più necessari. Questo garantisce che il confronto tra le predizioni del modello ed etichette di verità avvenga correttamente nello spazio pixel originale dell'immagine, assicurando la validità delle metriche di valutazione.

L'adattamento delle coordinate è visibile nel Codice A.14 in Appendice A.

- **Visualizzazione Scientifica**

Infine, per garantire che i risultati della validazione siano visivamente corretti ed interpretabili, le chiamate alle funzioni di plotting sono state modificate per supportare il rendering scientifico dei magnetogrammi (mapatura dei colori e correzione geometrica).

La chiamata modificata alla funzione di plotting è nel Codice A.15 in Appendice A.

Personalizzazione delle Utility di Visualizzazione

L'ultimo tassello nell'adattamento del framework ha riguardato la corretta rappresentazione grafica dei risultati all'interno del modulo di visualizzazione. Nella sua versione originale, il sistema è progettato per operare esclusivamente su immagini a tre canali (BGR), presupponendo che l'input sia sempre un'immagine standard.

Applicare questa logica direttamente ai magnetogrammi - che sono dati scientifici a singolo canale rappresentanti l'intensità del campo magnetico - avrebbe prodotto un output visivamente incomprensibile (falsi colori e perdita di contrasto), rendendo impossibile la distinzione delle polarità, informazione cruciale per l'analisi fisica.

L'obiettivo è stato, quindi, quello di integrare una logica di visualizzazione personalizzata che si attiva esclusivamente in presenza di dati scientifici. Tale logica include l'applicazione di mappe cromatiche specifiche, la correzione dell'orientamento geometrico e il conseguente adattamento delle coordinate delle bounding box. Allo stesso tempo, è stata mantenuta la piena compatibilità con i dataset standard.

Per raggiungere questo scopo, la procedura di visualizzazione è stata modificata attraverso i seguenti interventi:

- **Estensione della Firma della Funzione**

La prima modifica ha riguardato l'interfaccia della procedura di plotting. È stato introdotto un parametro opzionale di controllo, il quale agisce come una *feature flag* o **indicatore di contesto**: esso permette ai motori di addestramento e validazione di segnalare al visualizzatore che il batch in arrivo contiene dati scientifici (magnetogrammi) e non immagini standard. Il valore di default impostato a falso garantisce che la funzione mantenga inalterato il suo comportamento in assenza di specifiche istruzioni.

Vedi Codice A.16 in Appendice A.

- **Normalizzazione Condizionale dell'Input**

Il flusso originale prevedeva una de-normalizzazione sistematica dei tensori di input (moltiplicazione per 255), assumendo che questi fossero normalizzati nel range $[0,1]$ per la visualizzazione a 8-bit. Sebbene corretta per le immagini, questa operazione altera erroneamente i magnetogrammi. La modifica incapsula questa operazione in un blocco condizionale: la de-normalizzazione viene eseguita solo se il dato non è indicato come scientifico, preservando l'integrità numerica dei magnetogrammi per il successivo rendering.

Il controllo condizionale è nel Codice A.17 in Appendice A.

- **Logica di Rendering Personalizzata per Magnetogrammi**

Si tratta dell'intervento più sostanziale. All'interno del ciclo che processa ogni immagine del batch, è stata inserita una diramazione logica. Se il **flag scientifico** è attivo, la logica di visualizzazione standard viene sostituita da un *processo di rendering* specifico per i dati scientifici:

- Ripristino della Scala Fisica:** i dati sono riportati alla loro scala fisica originale (da $[0,1]$ a $[-1500,1500]$), utilizzando i parametri di clipping definiti nel Data Loader.
- Mappatura Cromatica:** viene applicata una mappa di colori divergente (denominata `seismic`), specifica per evidenziare le polarità magnetiche con colori contrastanti (rosso per il positivo e blu per il negativo).
- Conversione RGB:** l’immagine colorata (che ha 4 canali RGBA) è convertita in un’immagine RGB a 8 bit, compatibile con le librerie grafiche.
- Correzione dell’Orientamento:** l’immagine viene capovolta verticalmente (*flip*) per allinearsi alle convenzioni di visualizzazione astrofisica standard, dove l’asse Y cresce verso l’alto (contrariamente alle immagini digitali).

Il blocco alternativo mantiene la logica originale per le immagini standard. L’algoritmo di rendering e colorazione è dettagliato nel Codice A.18 in Appendice A.

- **Adattamento delle Coordinate delle Bounding Box**

Come conseguenza diretta dell’inversione verticale dell’immagine del magnetogramma (descritta al punto precedente), anche le ordinate spaziali delle bounding box necessitano di una trasformazione speculare. Prima che le etichette vengano disegnate sull’immagine, è stato aggiunto un blocco di calcolo che esegue un’inversione matematica. Questo assicura che le etichette (sia le predizioni del modello che la *ground truth*) rimangano geometricamente coerenti con la nuova rappresentazione visiva del magnetogramma.

La correzione delle coordinate delle bounding box è nel Codice A.19 in Appendice A.

3.2 Approccio alternativo: Pre-conversione del Dataset

In alternativa all’adattamento architettonico di YOLOv7 (descritto ampiamente nella sezione 3.1), è stato esplorato un approccio metodologico che inverte il paradigma di adattamento: *conformare i dati al framework, piuttosto che il framework ai dati*.

Sostanzialmente, si è scelto di trattare il modello preesistente come una *black box*, lasciandone il codice sorgente inalterato. Per conseguire tale obiettivo, è stato implementato un processo di pre-conversione strutturato in due fasi, volto a trasformare l’intero dataset dal formato gerarchico HDF5 al **formato YOLO**. Quest’ultimo impone una struttura specifica:

- Per ogni magnetogramma (in formato immagine .jpg), deve esistere un file di testo corrispondente con il medesimo identificativo.
- Ogni riga del file testuale rappresenta una singola bounding box presente nella relativa immagine.
- Ogni riga è espressa nel formato
`<class_id> <x_centro> <y_centro> <larghezza> <altezza>`.

Per lo scopo, è stato sviluppato un flusso di lavoro specifico.

3.2.1 Prima Fase: Transcodifica da HDF5 a YOLO

La prima fase è governata da una **routine di elaborazione batch**, progettata per scansionare l'intero archivio dati ed eseguire, su ogni campione scientifico, due flussi di trasformazione paralleli.

Estrazione e Formattazione delle Annotazioni

Analogamente a quanto implementato nella logica di caricamento dati (descritta nella sezione 3.1.1), il sistema naviga la struttura gerarchica del file per recuperare i metadati spaziali di ogni regione attiva. Vengono eseguiti i medesimi controlli di validità (verifica della completezza degli attributi e consistenza dimensionale) e il calcolo delle coordinate normalizzate. Le coordinate risultanti vengono infine serializzate come stringhe di testo e salvate nel file testuale di annotazione corrispondente.

Trasformazione e Quantizzazione del Segnale

Contestualmente, il modulo processa la matrice dei dati grezzi contenuti nel file scientifico. Questo processo converte l'informazione fisica in un'immagine standard, seguendo una serie di passi:

1. **Pulizia Dati**: rimozione di valori non validi (`Nan` e `inf`);
2. **Clipping Fisico**: saturazione dei valori di campo magnetico nell'intervallo di interesse ($[-1500, 1500]$);
3. **Normalizzazione Lineare**: riscalamento dei dati nell'intervallo unitario ($[0.0, 1.0]$);
4. **Ridimensionamento Spaziale**: interpolazione dell'immagine alla risoluzione target (formato 640x640 pixel).

Il *passaggio chiave* avviene al termine di questa catena: i dati in virgola mobile (`float`) vengono convertiti in interi a 8-bit. Questa operazione di *quantizzazione* riduce la vasta gamma dinamica dei dati scientifici in 256 valori discreti, rendendoli compatibili con i formati immagine standard. Il risultato viene duplicato su tre canali e codificato con compressione JPEG.

La procedura viene reiterata per le tre partizioni del dataset, producendo in output tre archivi distinti, ciascuno organizzato secondo la gerarchia standard di cartelle richiesta dal framework.

Il codice completo della procedura di conversione è riportato nel Codice A.20 in Appendice A.

3.2.2 Seconda Fase: Post-Processing e Mascheramento dello Sfondo

La procedura di conversione appena descritta introduce un *artefatto sistematico* legato alla gestione dei valori nulli dello sfondo. Durante la fase di pre-processing, i valori esterni al disco solare (`NaN`) vengono sostituiti con il valore neutro `0.0`. A seguito della normalizzazione Min-Max nell'intervallo $[-1500, 1500]$, tale valore zero si colloca al centro del range dinamico `0.5` che, nella conversione finale a 8-bit, viene mappato nel valore `127`.

Il risultato è un'immagine in cui lo sfondo, anziché essere nero, appare come un **grigio medio**, risultando indistinguibile dalle aree inattive del disco solare stesso (anch'esso rappresentato in scala di grigi). Questa ambiguità visiva riduce drasticamente il contrasto e introduce rumore di fondo che compromette la convergenza dell'addestramento, come evidenziato in figura 3.1.

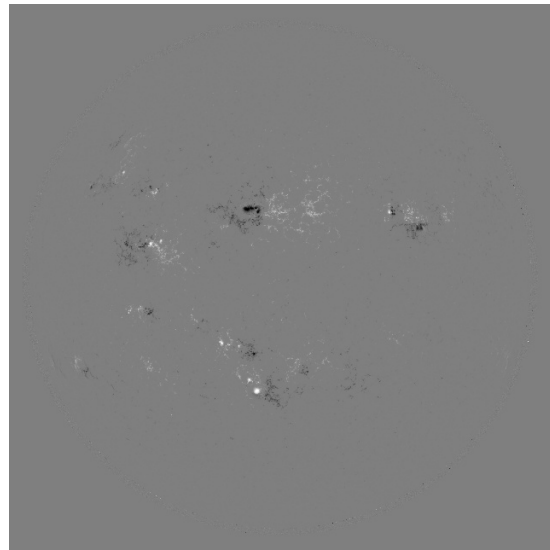


Figura 3.1: Esempio visivo dell'artefatto generato dalla routine di conversione primaria. Come si può osservare, lo sfondo è renderizzato come un grigio medio, rendendo il confine del disco solare (anch'esso in scala di grigi) visivamente ambiguo. Questa mancanza di bordo netto introduce rumore spuro nel dataset.

Per risolvere questa criticità, è stato implementato un **modulo di filtraggio ottico** (post-processing), il cui scopo è isolare geometricamente il disco solare, forzando lo sfondo esterno ad un valore di nero assoluto (`0`).

La procedura esegue le seguenti operazioni su ciascun campione generato:

1. **Definizione Geometrica del Raggio:** il sistema identifica il centro dell’immagine e calcola il raggio ottimale basandosi sulla dimensione minore del fotogramma. Tale raggio viene ridotto di un *fattore percentuale* (impostato al 96%) per escludere i bordi rumorosi.
2. **Generazione della Maschera:** viene inizializzata una matrice binaria (*maschera*) completamente nera, avente le medesime dimensioni dell’immagine target.
3. **Delimitazione della ROI:** sulla maschera viene disegnato un cerchio bianco pieno (valore 1), corrispondente alla Regione di Interesse (ROI) che contiene il disco solare da preservare.
4. **Applicazione del Filtro:** viene eseguita un’operazione logica bit-a-bit (*bitwise AND*) tra l’immagine originale e la maschera. Questa operazione preserva i pixel all’interno della ROI e azzera forzatamente tutti i pixel esterni, ripristinando il nero puro.

L’algoritmo per l’applicazione della maschera circolare è consultabile nel Codice A.21 in Appendice A.

L’efficacia di questo intervento è immediata: il mascheramento ripristina il corretto rapporto segnale-rumore, garantendo che la rete neurale processi esclusivamente le informazioni pertinenti, come mostrato in figura 3.2

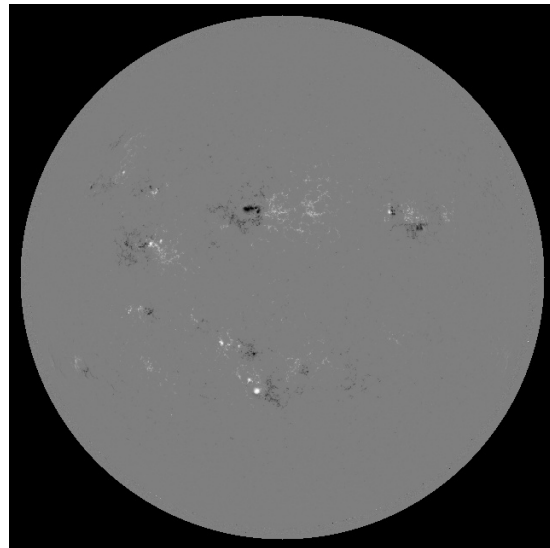


Figura 3.2: Risultato dell’applicazione del modulo di mascheramento sull’immagine precedentemente affetta da artefatti (mostrata nella figura 3.1). L’operazione ha rimosso con successo lo sfondo grigio, forzandolo a nero puro. L’immagine ora presenta un contrasto netto tra il disco solare e lo sfondo, fornendo un input di addestramento pulito e privo di ambiguità.

3.3 Tracking Multi-Oggetto con Norfair

Solo dopo aver terminato l'adattamento di YOLOv7, è stato possibile sviluppare un'applicazione in grado di utilizzare il suddetto modello addestrato per eseguire un'analisi temporale. Le regioni attive solari, infatti, non sono entità statiche, ma evolvono nel tempo, spostandosi e modificando la loro morfologia attraverso la rotazione solare.

Per tracciare tali evoluzioni, è stata integrata -come ampliamente anticipato- la libreria **Norfair**, una soluzione modulare che implementa un approccio di tipo *tracking-by-detection*. In questo paradigma, il modello neurale (YOLOv7) opera su ogni singolo fotogramma in modo indipendente, mentre il modulo di tracciamento si occupa di associare le rilevazioni tra istanti temporali consecutivi, assegnando un identificativo univoco (ID) a ciascun oggetto e mantenendolo consistente nel tempo.

3.3.1 Implementazione del Modulo di Tracciamento

Il cuore del sistema è costituito da un processo di elaborazione sequenziale progettato per processare serie temporali di magnetogrammi. Il funzionamento si articola in quattro fasi logiche:

1. Gestione Ibrida dei Dati

Il modulo è stato ingegnerizzato per gestire indifferentemente sia dati scientifici (HDF5) che immagini standard. Nel primo caso, viene applicata in tempo reale la medesima procedura di pre-processing utilizzata durante il training (gestione dei valori nulli, clipping fisico e normalizzazione), garantendo la totale congruenza statistica tra i dati appresi dal modello e quelli in ingresso al tracker.

2. Inferenza e Transcodifica

Per ogni frame, la rete neurale genera le bounding box delle regioni attive. Una routine di interfaccia converte i tensori di output originali in oggetti strutturati compatibili con il motore di tracciamento, preservando le coordinate spaziali ed i punteggi di confidenza.

3. Associazione Temporale

Il tracker calcola la distanza tra le rilevazioni correnti e la stima della posizione degli oggetti tracciati nei frame precedenti. Data la natura fisica del problema (le macchie solari si muovono con dinamiche fluide e prevedibili), è stata adottata la metrica *IoU* (Inserction over Union) come criterio di associazione: se la sovrapposizione spaziale tra la predizione attuale e quella passata supera una soglia critica, l'identità dell'oggetto viene preservata.

4. Sintesi dell'Output

Al termine del processo, il sistema aggrega i risultati visuali, generando un video riassuntivo che mostra l'evoluzione dinamica delle regioni attive, con i relativi colori identificativi sovraimpressi per facilitare l'analisi visiva.

L'implementazione algoritmica del tracciamento è riportata nel Codice A.22 in Appendice A.

3.3.2 Valutazione Quantitativa delle Prestazioni

Oltre all'analisi qualitativa visiva, è stato necessario quantificare la robustezza del sistema di tracciamento. A tal fine, è stato sviluppato un modulo di validazione dedicato al calcolo delle metriche standard per il Multi-Object Tracking (MOT), tra cui la *MOTA* (Accuracy) e l'*IDF1* (F1 Score sull'identificazione).

Poiché il calcolo di tali metriche richiede uno standard di annotazione specifico, il modulo implementa una routine di **standardizzazione automatica** che esegue tre compiti critici:

- **Conversione della Ground Truth:** Legge le annotazioni proprietarie e le trasforma nel formato standard internazionale (MOTChallenge), allineando coordinate e identificativi temporali.
- **Inizializzazione dell'Ambiente di Test:** Configura gli accumulatori statici necessari per registrare le associazioni corrette, le mancate rilevazioni e gli scambi di identità (*ID switches*).
- **Benchmarking Frame-by-Frame:** Confronta sequenzialmente le traiettorie generate dal tracker con i dati reali, producendo un report analitico dettagliato.

Questa infrastruttura di test permette di valutare oggettivamente la capacità del modello di mantenere stabile l'identità di una regione attiva anche in presenza di variazioni morfologiche rapide o occlusioni spaziali.

Il codice relativo al calcolo delle metriche è consultabile nel Codice A.23 in Appendice A.

3.4 Considerazioni Conclusive oppure Riepilogo delle Strategie Implementative oppure Sintesi del Capitolo ed Introduzione alla Sperimentazione

In questo capitolo, sono state presentate le strategie implementative adottate per adattare l'architettura YOLOv7 al dominio dell'astrofisica solare. È stato descritto il *duplice approccio metodologico* esplorato: da un lato, l'estensione profonda del framework per la gestione nativa dei dati scientifici, utilizzata come *proof-of-concept* per validare la fattibilità tecnica dell'apprendimento su dati grezzi; dall'altro, lo sviluppo di una catena di pre-elaborazione per la normalizzazione e quantizzazione dei magnetogrammi. Inoltre, sono stati illustrati i moduli accessori sviluppati per garantire la corretta visualizzazione dei risultati fisici e

per estendere le capacità del sistema al tracciamento temporale delle regioni attive.

Queste modifiche costituiscono l'infrastruttura tecnica su cui si basa l'intero lavoro di tesi. Nel prossimo capitolo, verranno analizzate le prestazioni quantitative dei modelli, concentrandosi in particolare sulla **strategia di pre-conversione del dataset**: tale approccio, infatti, si è rivelato il più idoneo per una sperimentazione estensiva, permettendo di valutare la robustezza del sistema tramite le metriche di rilevamento e tracciamento su larga scala.

Appendice A

Codice Sorgente

In questa appendice sono riportati i codici sorgente completi sviluppati per il progetto.

A.1 Generazione del Dataset e Splitting Temporale

```
1 import pandas as pd # Libreria per la manipolazione di dati
# tabellari (DataFrame).
2 import numpy as np # Libreria per calcoli numerici e gestione
# array.
3 import matplotlib.pyplot as plt # Libreria per la creazione di
# grafici.
4 from datetime import datetime, timedelta # Classi per la
# gestione di date e intervalli di tempo.
5
6 # --- CARICAMENTO DATI ---
7 # URL del dataset ufficiale SILSO (Sunspot Index and Long-term
# Solar Observations).
8 url = 'https://www.sidc.be/SILSO/DATA/SN_m_tot_V2.0.txt'
9 # Definizione dei nomi delle colonne per il file di testo (senza
# header).
10 columns = ['Year', 'Month', 'FracDate', 'Sunspots', 'StdDev', ,
# Obs', 'DefProv']
11 # Legge il file CSV (formato testo separato da spazi) nell'
# oggetto DataFrame.
12 df = pd.read_csv(url, delim_whitespace=True, names=columns)
13 # Crea una colonna 'Date' convertendo Anno e Mese in oggetti
# datetime (giorno impostato a 1).
14 df['Date'] = pd.to_datetime(df[['Year', 'Month']].assign(day=1))
15
16 # --- FILTRAGGIO TEMPORALE ---
17 # Filtra i dati per includere solo il Ciclo Solare 24 (Dic 2008 -
# Dic 2019).
18 cycle24 = df[(df['Date'] >= '2008-12-01') & (df['Date'] <= ,
# '2019-12-31')]
```

```

20 # --- CONFIGURAZIONE CAMPIONAMENTO ---
21 # Definisce le proporzioni desiderate per ogni sottosinsieme del
22 # dataset.
23 proportions = {'Train': 0.7, 'Validation': 0.15, 'Test': 0.15}
24
25 # Regola la densita' di campionamento per anno in base all'
# attivita' solare.
26 # Assegna peso doppio agli anni di massimo solare (2012-2014) per
# catturare piu' regioni attive.
27 sampling_weights = {year: 2 if 2012 <= year <= 2014 else 1 for
# year in range(2011, 2020)}
28 # Crea una lista di anni ripetuti in base al loro peso (es. 2012
# appare 2 volte).
29 repeated_years = [year for year in range(2011, 2020) for _ in
range(sampling_weights[year])]
30 np.random.seed(42) # Imposta il seme random per la
# riproducibilita'.
31 np.random.shuffle(repeated_years) # Mescola l'ordine degli anni
# da campionare.
32
33 # --- LOGICA DI SELEZIONE PERIODI ---
34 period_length = 90 # Durata in giorni di ogni blocco (Train +
# Val + Test).
35 separation_days = 15 # Giorni di "cuscinetto" tra i set per
# evitare data leakage (correlazione temporale).
36 selected_periods = {'Train': [], 'Validation': [], 'Test': []} #
# Dizionario per salvare i risultati.
37 used_ranges = [] # Lista per tracciare i periodi gia' occupati
# ed evitare sovrapposizioni.
38
39 # Itera su ogni anno selezionato dalla lista pesata.
40 for year in repeated_years:
41     year_start = datetime(year, 1, 1) # Inizio dell'anno
# corrente.
42     year_end = datetime(year, 12, 31) # Fine dell'anno corrente.
43
44     # Calcola l'ultimo giorno utile per iniziare un periodo che
# stia dentro l'anno.
45     max_start_day = (year_end - year_start).days - period_length
46     if max_start_day <= 0:
47         continue # Salta l'anno se non c'e' abbastanza spazio.
48
49     attempts = 0 # Contatore tentativi per trovare uno spazio
# libero.
50     while attempts < 100:
51         # Sceglie un giorno di partenza casuale nell'anno.
52         start_offset = np.random.randint(0, max_start_day)
53         base_start = year_start + timedelta(days=start_offset)
54
55         # Calcola le date di inizio e fine per il Training set.
56         train_end = base_start + timedelta(days=int(proportions['
# Train']) * period_length))

```

```

57     # Calcola le date per la Validazione (dopo i giorni di
58     # separazione).
59     val_start = train_end + timedelta(days=separation_days)
60     val_end = val_start + timedelta(days=int(proportions[',
61     Validation']) * period_length))
62
63     # Calcola le date per il Test (dopo ulteriore separazione
64     #).
65     test_start = val_end + timedelta(days=separation_days)
66     test_end = test_start + timedelta(days=int(proportions[',
67     Test']) * period_length))
68
69     # --- CONTROLLO SOVRAPPOSIZIONI ---
70     # Verifica se l'intervallo proposto [base_start , test_end]
71     # tocca intervalli gia' usati.
72     overlap = any(
73         not (test_end < rng[0] or base_start > rng[1])
74         for rng in used_ranges
75     )
76
77     # Se non c'e' sovrapposizione e finiamo entro l'anno
78     # corrente:
79     if not overlap and test_end <= year_end:
80         # Aggiunge le tuple (start , end) alle liste
81         # appropriate.
82         # Nota: sottrae 1 giorno alla fine per avere estremi
83         # inclusivi precisi.
84         selected_periods['Train'].append((base_start ,
85         train_end - timedelta(days=1)))
86         selected_periods['Validation'].append((val_start ,
87         val_end - timedelta(days=1)))
88         selected_periods['Test'].append((test_start , test_end
89         - timedelta(days=1)))
90
91         # Registra l'intero blocco come "usato".
92         used_ranges.append((base_start , test_end))
93         break # Esce dal ciclo while (successo).
94
95     attempts += 1 # Riprova se c'era sovrapposizione.
96
97 # --- ESPORTAZIONE DATI ---
98 splits_data = []
99 # Riorganizza i dati in un formato tabellare.
100 for split, periods in selected_periods.items():
101     for start, end in periods:
102         splits_data.append({'Split': split , 'Start': start , 'End' :
103             end})
104
105 # Crea un DataFrame e salva il piano di campionamento su CSV.
106 splits_df = pd.DataFrame(splits_data)
107 splits_df.to_csv('solar_cycle_splits.csv' , index=False)
108
109 # --- VISUALIZZAZIONE ---
110 fig, ax = plt.subplots(figsize=(15 , 7))

```

```

99 # Traccia l'andamento delle macchie solari nel tempo.
100 ax.plot(cycle24['Date'], cycle24['Sunspots'], label='Monthly
101     Sunspot Number', color='blue')
102
102 # Aggiunge aree colorate per evidenziare i periodi selezionati.
103 colors = {'Train': 'green', 'Validation': 'yellow', 'Test': 'red'
104     }
104 for split, periods in selected_periods.items():
105     for start, end in periods:
106         # axvspan disegna una banda verticale colorata.
107         ax.axvspan(start, end, color=colors[split], alpha=0.3,
108         label=f'{split} Period' if start == periods[0][0] else "")
109
109 # --- STIMA DEL VOLUME DATI ---
110 records_count = {}
111 for split, periods in selected_periods.items():
112     # Calcola il numero stimato di immagini: giorni * 24h * 5 (1
113     # immagine ogni 12 min).
114     count = sum([(end - start).days * 24 * 5 for start, end in
115     periods])
116     records_count[split] = count
117     print(f'{split} dataset contains {count} images.')
118
117 # Mostra i conteggi direttamente sul grafico.
118 for idx, (split, count) in enumerate(records_count.items()):
119     ax.text(0.02, 0.9 - idx * 0.05, f'{split} images: {count}',
120             transform=ax.transAxes, fontsize=12, color=colors[split])
121
121 # Configurazioni finali del grafico (titoli, label, griglia).
122 ax.set_title('Solar Cycle 24 Sunspot Numbers with Randomized
123     Train-Validation-Test Sampling (2011-2019)')
123 ax.set_xlabel('Year')
124 ax.set_ylabel('Sunspot Number')
125 ax.grid(True)
126 ax.legend()
127 plt.tight_layout()
128 # Salva il grafico risultante su file PNG.
129 plt.savefig('splits.png', dpi=300)
130
131 # Stampa finale di riepilogo in console.
132 for idx, (split, count) in enumerate(records_count.items()):
133     print(f'{split} images: {count}')

```

Codice A.1: Script dataset.py per il campionamento e la generazione degli split

A.2 Data Loader Custom

```

1 # --- BLOCCO IMPORTAZIONI ---
2 import torch # Libreria principale per il deep learning.
3 from torch.utils.data import Dataset # Classe base di PyTorch
4     per creare dataset personalizzati.
4 import h5py # Libreria specifica per leggere file in formato
        HDF5.

```

```

5 import numpy as np # Libreria per il calcolo numerico, usata per
6     manipolare gli array di dati.
7 import cv2 # Libreria OpenCV per operazioni sulle immagini, come
8     il ridimensionamento.
9 import os # Libreria per interagire con il sistema operativo.
10 import glob # Libreria per trovare file che corrispondono a un
11     pattern.
12 from tqdm import tqdm # Libreria per gestire visivamente barre
13     di avanzamento.
14
15 # --- DEFINIZIONE DELLA CLASSE DATASET ---
16 # Eredita da 'Dataset' di PyTorch per integrarsi con i suoi
17     strumenti, come il DataLoader.
18 class DatasetH5(Dataset):
19     # --- METODO COSTRUTTORE ('__init__') ---
20     # Viene eseguito una sola volta all'inizio. Prepara il
21     dataset.
22     def __init__(self, path, img_size=640, clip_range=(-1500,
23         1500)):
24         # Salva i parametri di configurazione come attributi
25         della classe.
26         self.img_size = img_size # Dimensione finale delle
27         immagini.
28         self.clip_min, self.clip_max = clip_range # Intervallo
29         per il clipping dei valori dei pixel.
30         self.class_id = 0 # ID di classe fisso (0), dato che
31         abbiamo solo una classe ("regione attiva").
32
33         # --- LOGICA DI CACHING ---
34         # Definisce una sottocartella 'cache' dove verranno
35         salvati i dati pre-elaborati.
36         cache_dir = 'cache'
37         # Crea la cartella 'cache' se non esiste già. 'exist_ok='
38         True' evita errori se la cartella esiste.
39         os.makedirs(cache_dir, exist_ok=True)
40
41         # Costruisce un nome univoco per i file di cache basato
42         sul nome della cartella dei dati (es. "Train" o "Validation")
43         .
44         cache_name = os.path.basename(os.path.normpath(path))
45         # Crea il percorso completo per il file di cache delle
46         etichette (es. 'cache/Train_labels.npy').
47         label_cache = os.path.join(cache_dir, f'{cache_name}
48         _labels.npy')
49         # Crea il percorso completo per il file di cache delle
50         dimensioni originali delle immagini.
51         shape_cache = os.path.join(cache_dir, f'{cache_name}
52         _shapes.npy')
53
54         # Cerca tutti i file .h5 nel percorso dato, li ordina e
55         ne salva la lista.
56         self.h5_files = sorted(glob.glob(os.path.join(path, '*.h5
57         ,)))
58         # Salva il numero totale di file trovati.

```

```

38         self.n = len(self.h5_files)
39
40         # Controlla se entrambi i file di cache esistono già.
41         if os.path.exists(label_cache) and os.path.exists(
42             shape_cache):
43             # --- CARICAMENTO VELOCE DA CACHE (AVVII SUCCESSIVI)
44             ---
45             print(f"Caricamento rapido da cache per '{cache_name}"
46             '...")"
47             # Carica l'array delle etichette dal file .npy.
48             # 'allow_pickle=True' è necessario perché le
49             etichette sono in una lista di array.
50             self.labels = np.load(label_cache, allow_pickle=True)
51             # Carica l'array delle dimensioni dal file .npy.
52             self.shapes = np.load(shape_cache)
53             print(f"Cache caricata per {len(self.labels)} file.
54             Avvio del training...")
55             else:
56                 # --- CREAZIONE DELLA CACHE (PRIMO AVVIO LENTO) ---
57                 print(f"Cache non trovata. Creazione della cache per
58             '{cache_name}' (lento solo la prima volta)...")
59
60                 # Inizializza le liste che conterranno i dati
61             estratti.
62                 self.labels = []
63                 self.shapes = []
64                 bad_labels_count = 0 # Contatore per le etichette
65             scartate.
66
67                 # Itera su ogni file .h5 trovato, mostrando una barra
68             di avanzamento.
69                 for h5_path in tqdm(self.h5_files, desc=f"Caching
70             metadata from {path}"):
71                     try: # Blocco per gestire errori di lettura dei
72             singoli file.
73                         # Apre il file .h5 in modalità lettura. '
74             with' assicura la chiusura automatica.
75                         with h5py.File(h5_path, 'r') as f:
76                             # Estrae il dataset del magnetogramma.
77                             magnetogram_data = f['magnetogram/data']
78                             # Legge le dimensioni originali (altezza,
79                             larghezza).
80                             orig_h, orig_w = magnetogram_data.shape
81                             # Aggiunge le dimensioni alla lista 'self
82                             .shapes'.
83                             self.shapes.append([orig_h, orig_w])
84
85                             # Accede al gruppo dei metadati HARP.
86                             harp_group = f['harp/metadata']
87                             image_labels = [] # Lista temporanea per
88             le etichette di questa immagine.
89
90                             # Itera su ogni regione attiva trovata
91             nei metadati.

```

```

76             for harp_id in harp_group:
77                 # Estraie gli attributi della regione
78                 attiva corrente.
79                 harp_attrs = harp_group[harp_id].
80                 attrs
81
82                     # Definisce le chiavi necessarie per
83                     calcolare una bounding box.
84                     required_keys = ['CRPIX1', 'CRPIX2',
85                     'CRSIZE1', 'CRSIZE2']
86                     # Controlla se tutti gli attributi
87                     necessari sono presenti.
88                     if not all(key in harp_attrs for key
89                     in required_keys):
90                         continue # Se ne manca uno,
91                     salta questa regione.
92
93                     # Converte le dimensioni in numeri
94                     decimali.
95                     w_abs = float(harp_attrs['CRSIZE1'])
96                     h_abs = float(harp_attrs['CRSIZE2'])
97
98                     # Controlla che le dimensioni siano
99                     positive.
100                    if w_abs <= 0 or h_abs <= 0:
101                        bad_labels_count += 1
102                        continue # Se non lo sono,
103                        scarta l'etichetta.
104
105                    # Calcola le coordinate del centro e
106                    le dimensioni, normalizzandole rispetto alle dimensioni dell'
107                    immagine
108                    x_center_norm = float(harp_attrs['
109                     CRPIX1'] + w_abs / 2) / orig_w
110                     y_center_norm = float(harp_attrs['
111                     CRPIX2'] + h_abs / 2) / orig_h
112                     width_norm = w_abs / orig_w
113                     height_norm = h_abs / orig_h
114
115                     # Controlla che il centro della
116                     bounding box sia dentro l'immagine.
117                     if not (0.0 < x_center_norm < 1.0 and
118                     0.0 < y_center_norm < 1.0):
119                         bad_labels_count += 1
120                         continue # Se e' fuori, scarta l
121                     'etichetta.
122
123                     # Aggiunge l'etichetta valida (
124                     formato YOLO) alla lista temporanea.
125                     image_labels.append([self.class_id,
126                     x_center_norm, y_center_norm, width_norm,
127                     height_norm])
128
129                     # Aggiunge le etichette di questa
130                     immagine alla lista principale.

```

```

110                         self.labels.append(np.array(image_labels,
111                             dtype=np.float32) if image_labels else np.empty((0, 5),
112                             dtype=np.float32))
113
114             except Exception as e: # Se si verifica un
115                 errore grave durante la lettura.
116                 print(f"Errore grave durante la lettura del
117                     file {h5_path}: {e}")
118                 # Aggiunge placeholder per mantenere l'
119                 # allineamento degli indici.
120                 self.labels.append(np.empty((0, 5), dtype=np.
121                             float32))
122                 self.shapes.append([0, 0])
123
124             # Stampa un riepilogo delle etichette scartate, se ce
125             ne sono.
126             if bad_labels_count > 0:
127                 print(f"ATTENZIONE: Trovate e scartate {
128                     bad_labels_count} etichette corrotte.")
129
130             # Converte la lista di liste 'self.shapes' in un
131             # unico array NumPy.
132             self.shapes = np.array(self.shapes, dtype=np.float64)
133
134             # SALVA I DATI PROCESSATI NELLA CACHE PER USO FUTURO.
135             print(f"Salvataggio della cache in '{path}'...") #
136             NOTA: Stampa il percorso dei dati, non della cache
137             np.save(label_cache, self.labels) # Salva le
138             etichette.
139             np.save(shape_cache, self.shapes) # Salva le
140             dimensioni.
141             print("Cache creata. I prossimi avvi saranno
142             istantanei.")
143
144             # --- METODO '__len__' ---
145             # Restituisce il numero totale di campioni nel dataset.
146             def __len__(self):
147                 return self.n # Restituisce il numero di file contati
148                 all'inizio.
149
150             # --- METODO '__getitem__' ---
151             # Carica e restituisce un singolo campione (immagine +
152             etichetta) dato un indice.
153             def __getitem__(self, index):
154                 # Ottiene percorso e etichette pre-caricate per l'indice
155                 richiesto.
156                 h5_path = self.h5_files[index]
157                 labels_tensor = torch.from_numpy(self.labels[index])
158
159                 try: # Blocco per gestire errori di apertura file (es.
160                     file corrotti).
161                     # Tenta di aprire il file H5 e leggere i dati dell'
162                     immagine.
163                     with h5py.File(h5_path, 'r') as f:

```

```

146         data = f['magnetogram/data'][:] # Carica l'
intero array in memoria.
147
148         # Pulisce i dati da eventuali valori non numerici (NaN/inf).
149         if np.isnan(data).any() or np.isinf(data).any():
150             data = np.nan_to_num(data, nan=0.0, posinf=0.0,
neginf=0.0)
151
152         # Pre-processa l'immagine: clipping, normalizzazione
e ridimensionamento.
153         clipped_data = np.clip(data, self.clip_min, self.
clip_max)
154         normalized_data = (clipped_data - self.clip_min) / (
self.clip_max - self.clip_min)
155         resized_image = cv2.resize(normalized_data, (self.
img_size, self.img_size), interpolation=cv2.INTER_LINEAR)
156
157         # Converte a 3 canali (duplicando il canale unico)
per compatibilità con YOLOv7.
158         image_rgb = np.stack([resized_image] * 3, axis=-1)
159         # Converte l'array NumPy in un tensore PyTorch e
riordina le dimensioni in [C, H, W].
160         image_tensor = torch.from_numpy(image_rgb.transpose
(2, 0, 1)).float()
161
162         # Restituisce il campione completo.
163         return image_tensor, labels_tensor, h5_path, self.
shapes[index]
164
165     except Exception as e: # Se si verifica un qualsiasi
errore durante il caricamento.
166         # Stampa un avviso e ignora il dato corrotto.
167         print(f"\nATTENZIONE: Ignorato file corrotto o
illeggibile: {os.path.basename(h5_path)}")
168
169         # Restituisce un'immagine nera per non interrompere
il training.
170         placeholder_image = torch.zeros((3, self.img_size,
self.img_size))
171         return placeholder_image, labels_tensor, h5_path,
self.shapes[index]

```

Codice A.2: Classe DatasetH5 per il caricamento dei file .h5

A.3 Scaricamento e Processamento Dati Solari

```

1 import pandas as pd # Libreria per leggere il file CSV con gli
split temporali.
2 import os # Libreria per operazioni sul file system (creazione
cartelle, eliminazione file).
3 import drms # Client ufficiale per accedere ai dati solari JSOC/
DRMS.

```

```

4 import h5py # Libreria per creare e gestire file HDF5 compressi.
5 import time # Libreria per gestire pause e timeout.
6 import sunpy.map # Libreria specifica per leggere e manipolare
    mappe solari (file FITS).
7 from sunpy.net import jsoc # Modulo di SunPy per interfacciarsi
    con JSOC.
8 import multiprocessing as mp # Libreria per il calcolo parallelo
    (gestione processi).
9 from datetime import datetime, timedelta # Classi per la
    gestione temporale.
10
11 # Imposta l'email necessaria per effettuare richieste ai server
    DRMS.
12 EMAIL = 'edoria2011@gmail.com'
13
14 # Classe personalizzata che estende h5py.File per una scrittura
    sicura.
15 # Garantisce che non rimangano file corrotti su disco in caso di
    crash.
16 class SafeH5File(h5py.File):
17     def __init__(self, filename, *args, **kwargs):
18         super().__init__(filename, *args, **kwargs)
19         self._store_filename = filename # Memorizza il percorso
    del file.
20
21     # Metodo chiamato automaticamente all'uscita dal blocco 'with'.
22     def __exit__(self, exc_type, exc_val, exc_tb):
23         self.close() # Chiude il file.
24         # Se si e' verificata un'eccezione (errore) durante la
    scrittura...
25         if exc_type:
26             print("An error occurred, cleaning up...")
27             # ...cancella il file parziale/corrotto dal disco.
28             if os.path.exists(self._store_filename):
29                 os.remove(self._store_filename)
30         return False
31
32 # Funzione per gestire i download falliti con tentativi ripetuti
    (retry logic).
33 def export_with_retries(client, query, sleep_time=3, max_retries
    =100):
34     retries = 0
35     while retries < max_retries:
36         try:
37             # Tenta di esportare i dati richiedendo un URL FITS.
38             response = client.export(query, method='url',
    protocol='fits')
39             # Status 4 = Completato, Status 7 = Richiesta in coda
    .
40             if response.status != 7:
41                 return response # Successo (o errore non
    recuperabile).
42             elif response.status == 7:

```

```

43             # Se il server e' pieno, aspetta e riprova.
44             print(f"[RETRY] Too many pending requests (status
45 ={response.status}). Waiting {sleep_time}s...")
46         else:
47             print(f"[RETRY] Unknown status={response.status}.
48 Waiting {sleep_time}s...")
49     except Exception as e:
50         raise # Se l'errore e' grave, lo lascia gestire al
51 livello superiore.
52
53     time.sleep(sleep_time) # Attende prima del prossimo
54 tentativo.
55     retries += 1
56
57 # Se supera il numero massimo di tentativi, lancia un errore.
58 raise RuntimeError(f"Exceeded max retries ({max_retries}) for
59 query: {query}")
60
61 # Funzione "worker" che processa un intero intervallo di date (es.
62 . un blocco di Training).
63 def process_range(args):
64     split, start_str, end_str, output_dir = args # Disimballa
65 gli argomenti.
66
67     print(f"[PID {mp.current_process().pid}] Starting date range
68 {start_str} to {end_str}")
69
70     # Inizializza i client per la connessione al database solare.
71     client = drms.Client(email=EMAIL)
72     jsoc_client = jsoc.JSOCClient()
73
74     # Crea la cartella di output specifica per lo split (es.
75     output/Train).
76     split_path = os.path.join(output_dir, split)
77     os.makedirs(split_path, exist_ok=True)
78
79     # Converte le stringhe delle date in oggetti datetime.
80     start = datetime.strptime(start_str, "%Y-%m-%d")
81     end = datetime.strptime(end_str, "%Y-%m-%d")
82
83     current = start
84     # Ciclo principale che avanza di 12 minuti alla volta (
85     # cadenza strumento HMI).
86     while current <= end:
87         # Formatta la data nel formato richiesto da JSOC (TAI
88         # time).
89         current_str = current.strftime('%Y.%m.%d_%H:%M:%S_TAI')
90         # Definisce il nome del file di output .h5.
91         filename = f'hmi_magnetogram_{current.strftime("%Y-%m-%d-
92 %H-%M-%S")}.h5'
93         output_h5 = os.path.join(split_path, filename)
94
95         # Salta il download se il file esiste gia' (resume
96         # capability).

```

```

84         if os.path.exists(output_h5):
85             print(f"[{current}] Skipping - file already exists: {output_h5}")
86             current += timedelta(minutes=12)
87             continue
88
89         # --- FASE 1: DOWNLOAD E PREPARAZIONE DATI IN MEMORIA ---
90         try:
91             print(f"[{current}] Requesting HMI magnetogram data ...")
92             # Costruisce la query per il magnetogramma (serie hmi.M_720s).
93             # QUALITY<65536 filtra le immagini con errori noti.
94             hmi_query = f'hmi.M_720s[{current_str}][? (QUALITY <65536) ?]'
95             hmi_response = export_with_retries(client, hmi_query)
96
97             print(f"[{current}] Creating SunPy map from FITS URL ...")
98             # Scarica il FITS dall'URL e crea una mappa SunPy.
99             hmi_map = sunpy.map.Map(hmi_response.urls['url'][0])
100            data = hmi_map.data # Estrae la matrice numerica (immagine).
101            metadata = hmi_map.meta # Estrae l'header FITS (metadati immagine).
102
103            print(f"[{current}] Requesting HARP metadata...")
104            # Cerca i metadati delle regioni attive (HARP) per quello stesso istante.
105            harp_response = jsoc_client.search(
106                jsoc.attrs.Time(current_str, current_str),
107                jsoc.attrs.Series('hmi.Mharp_720s'),
108            )
109
110        except Exception as e:
111            # In caso di errore di rete o dati mancanti, stampa l'errore e salta al prossimo step.
112            print(f"[{current}] Error during data fetch or parsing: {e}")
113            current += timedelta(minutes=12)
114            continue
115
116         # --- FASE 2: SCRITTURA SICURA SU DISCO ---
117         try:
118             # Usa la classe SafeH5File per garantire l'integrità del file.
119             with SafeH5File(output_h5, 'w') as f:
120                 # Salva la matrice del magnetogramma compressa con GZIP (livello 9).
121                 f.create_dataset('magnetogram/data', data=data,
122                                 compression="gzip", compression_opts=9)
123
124                 # Crea un gruppo per i metadati del magnetogramma .

```

```

124             meta_group = f.create_group('magnetogram/metadata'
125         ,)
126         for key in metadata:
127             value = metadata.get(key)
128             try:
129                 # Prova a salvare il valore direttamente.
130                 meta_group.attrs[key] = value
131             except TypeError:
132                 # Se il tipo non e' supportato da HDF5,
133                 # lo converte in stringa.
134                 meta_group.attrs[key] = str(value)
135
136         # Crea un gruppo per i metadati HARP (Regioni
137         Attive).
138         harp_group = f.create_group('harp/metadata')
139         for record in harp_response:
140             harpnum = record["HARPNUM"]
141             harp_id = f"HARP_{harpnum}"
142             # Crea un sottogruppo per ogni HARP
143             # identificata.
144             harp_entry = harp_group.create_group(harp_id)
145
146             # Salva tutte le colonne della risposta HARP
147             come attributi.
148             for key in harp_response.columns:
149                 value = record[key]
150                 try:
151                     harp_entry.attrs[key] = value
152                 except TypeError:
153                     harp_entry.attrs[key] = str(value)
154
155             print(f"[{current}] File saved: {output_h5}")
156
157         except Exception as e:
158             print(f"[{current}] Error saving file: {e}")
159             # Pulizia extra nel caso SafeH5File non avesse
160             # intercettato tutto.
161             if os.path.exists(output_h5):
162                 os.remove(output_h5)
163
164             # Avanza l'iteratore temporale di 12 minuti.
165             current += timedelta(minutes=12)
166
167         print(f"[PID {mp.current_process().pid}] Finished processing
168             range {start_str} to {end_str}")
169
# Funzione principale che orchestra l'esecuzione dei job.
def run_all(csv_path, output_root="output", num_workers=4):
    print(f"Reading from: {csv_path}")
    df = pd.read_csv(csv_path)

    # Crea una lista di tuple (task) da assegnare ai worker.
    tasks = [(row["Split"], row["Start"], row["End"], output_root
    ) for _, row in df.iterrows()]

```

```

170     print(f"Launching {len(tasks)} tasks with {num_workers}
171         worker(s)...)")
172
172     # Codice predisposto per il multiprocessing (attualmente
173     # esegue in sequenza per debug).
173     # with mp.Pool(processes=num_workers) as pool:
174     #     pool.map(process_range, tasks)
175
176     # Esegue i task sequenzialmente nel processo corrente.
177     for task in tasks: process_range(task)
178
179     print("All tasks completed.")
180
181 if __name__ == '__main__':
182     # Punto di ingresso dello script.
183     run_all('solar_cycle_splits.csv', output_root="/projects/data
184 /physics/data", num_workers=8)

```

Codice A.3: Script download.py per il recupero dei dati da JSOC

A.4 Modifiche a train.py

```

1 # Importa la classe personalizzata per la gestione dei dataset in
2 # formato HDF5.
2 from utils.dataset_h5 import DatasetH5

```

Codice A.4: Importazione in train.py

```

1 # Funzione custom per raggruppare campioni in un batch. Aggiunge
2 # l'indice del batch a ogni etichetta per l'associazione.
2 def h5_collate_fn(batch):
3     # Separa gli elementi del batch (immagini, etichette,
4     # percorsi, dimensioni)
5     imgs, labels, paths, shapes = zip(*batch)
6
7     batched_labels = [] # Lista per accumulare le etichette
8     # indicizzate
9
10    # Itera su ogni campione (immagine + etichette) nel batch
11    # 'i' sara' l'indice dell'immagine nel batch (0, 1, 2, ...)
12    for i, label in enumerate(labels):
13
14        # Processa solo se l'immagine ha almeno un'etichetta
15        if label.shape[0] > 0:
16
17            # Crea un tensore riempito con l'indice (i) dell'
18            # immagine
19            # Avra' la stessa n. di righe delle etichette di
20            # questa immagine
21            batch_idx = torch.full((label.shape[0], 1), i,
22                                  device=imgs[0].device)

```

```

20         # Concatena l'indice (colonna 0) alle etichette [ 
21         classe, x, y, w, h]
22         label_with_batch_idx = torch.cat((batch_idx,
23                                         label.to(imgs[0].
24                                         device)), 1)
25
26         # Aggiunge il nuovo tensore [i, classe, x, y, w, h]
27         # alla lista
28         batched_labels.append(label_with_batch_idx)
29
30     # Se sono state trovate etichette in questo batch...
31     if len(batched_labels) > 0:
32         # ...le unisce tutte in un unico tensore [N_tot_labels,
33         6]
34         targets = torch.cat(batched_labels, 0)
35     else:
36         # ...altrimenti crea un tensore vuoto (con 6 colonne) per
37         # coerenza
38         targets = torch.empty(0, 6, device=imgs[0].device)
39
40     # Restituisce le immagini (stackate in un unico tensore batch
41     )
42     # e il tensore unico delle etichette (targets)
43     return torch.stack(imgs, 0), targets, paths, shapes

```

Codice A.5: Funzione Collate per il Training

```

1 # Apre e legge il file di configurazione del dataset (es. harp.
2 # yaml)
3 with open(opt.data) as f:
4     data_dict = yaml.load(f, Loader=yaml.SafeLoader)
5
6 # Controlla se la chiave 'is_h5' esiste e ha valore True;
7 # altrimenti, imposta False
8 is_h5_dataset = data_dict.get('is_h5', False)

```

Codice A.6: Lettura configurazione .yaml

```

1 # Logica condizionale per la selezione dinamica del data loader
2
3 # Controlla il flag booleano letto dal file .yaml
4 if is_h5_dataset:
5     logger.info("Utilizzo del DataLoader custom per dataset .h5")
6
7     # Crea un'istanza del dataset personalizzato
8     dataset = DatasetH5(path=train_path, img_size=imgsz)
9
10    # Imposta il sampler (necessario per il training distribuito)
11    sampler = torch.utils.data.distributed.DistributedSampler(
12        dataset) if rank != -1 else None
13
14    # Crea il DataLoader di PyTorch usando la collate_fn
15    # personalizzata
16    dataloader = torch.utils.data.DataLoader(dataset,
17                                              batch_size=batch_size
18                                              ,
19

```

```

16                                         shuffle=sampler.is
17                                         None and not opt.rect,
18                                         num_workers=opt.
19                                         workers,
20                                         sampler=sampler,
21                                         pin_memory=True,
22                                         collate_fn=
23                                         h5_collate_fn)
24 else:
25     # Logica originale di YOLOv7 per dataset standard
26     dataloader, dataset = create_dataloader(train_path, imgsz,
27     batch_size, gs, opt,
28                                         hyp=hyp, augment=True
29     , cache=opt.cache_images, rect=opt.rect, rank=rank,
30                                         world_size=opt.
31     world_size, workers=opt.workers,
32                                         image_weights=opt.
33     image_weights, quad=opt.quad, prefix=colorstr('train: '))
34

```

Codice A.7: Selezione dinamica del DataLoader

```

1 if is_h5_dataset:
2     # Per i dati H5, i valori sono già normalizzati [0,1].
3     imgs = imgs.to(device, non_blocking=True).float()
4 else:
5     # Per le immagini normali, mantengo la logica originale.
6     imgs = imgs.to(device, non_blocking=True).float() / 255.0

```

Codice A.8: Normalizzazione condizionale nel training

A.5 Modifiche a test.py

```

1 # Importa la classe personalizzata per la gestione dei dataset in
2 # formato HDF5.
3 from utils.dataset_h5 import DatasetH5
4
5 # Importa la funzione di default di PyTorch per l'assemblaggio
6 # dei batch.
7 from torch.utils.data.dataloader import default_collate

```

Codice A.9: Importazioni in test.py

```

1 # Funzione custom per raggruppare i dati provenienti da DatasetH5
2 # in un batch.
3 def h5_collate_fn(batch):
4     # Delega l'assemblaggio del batch alla funzione di default di
5     # PyTorch, che impila automaticamente i campioni in un unico
6     # tensore.
7
8     return default_collate(batch)

```

Codice A.10: Funzione Collate semplificata per il Test

```

1 def test(data,
2         ...,
3         is_magnetogram=False):

```

Codice A.11: Nuovo parametro nella funzione test

```

1 # Legge il flag 'is_h5' dal dizionario 'data' (caricato dal file
2 .yaml).
3 # Se la chiave non esiste, imposta 'False' come valore di default
4 .
5 is_h5_dataset = data.get('is_h5', False)
6
7 # Controlla se il dataset e' di tipo H5.
8 if is_h5_dataset:
9     # Stampa un messaggio informativo nel log.
10    print("Utilizzo del DataLoader custom per dataset .h5")
11
12    # Istanzia la classe DatasetH5 personalizzata.
13    # 'data[task]' contiene il percorso alla cartella dei dati (es. 'val').
14    dataset = DatasetH5(path=data[task], img_size=imgs)
15
16    # Crea un DataLoader standard di PyTorch utilizzando il
17    # dataset H5.
18    dataloader = torch.utils.data.DataLoader(dataset,
19                                              # Imposta la
20                                              dimensione del batch.
21                                              batch_size=
22                                              # Disattiva lo 'batch_size',
23                                              shuffle' (mescolamento) per la validazione/test.
24                                              shuffle=False,
25                                              # Imposta il numero
26                                              # di processi paralleli per caricare i dati.
27                                              num_workers=8,
28                                              # Abilita il 'pinning' della memoria per trasferimenti piu' veloci alla GPU
29                                              pin_memory=True,
30                                              # Specifica la
31                                              # funzione custom per assemblare i campioni in un batch.
32                                              collate_fn=
33                                              h5_collate_fn)
34 # Se il dataset non e' di tipo H5...
35 else:
36     # ...esegue la logica originale di YOLOv7.
37     # Chiama la funzione 'create_dataloader' standard del
38     # framework.
39     dataloader = create_dataloader(data[task], imgs, batch_size,
40                                     gs, opt, pad=0.5, rect=True,
41                                     prefix=colorstr(f'{task}: '))
42 [0]

```

Codice A.12: Creazione Dataloader in test.py

```

1 # Salta la divisione se e' un magnetogramma
2     if not is_magnetogram:
3         img /= 255.0

```

Codice A.13: Normalizzazione condizionale nel test

```

1 # ... all'interno del ciclo sulle predizioni ...
2
3 # 1. Riscalare le coordinate delle PREDIZIONI
4 # La chiamata originale (shapes[si][0]) e' stata modificata in '
5 shapes[si]
5 scale_coords(img[si].shape[1:], predn[:, :4], shapes[si]) # native-space pred
6
7 # ... all'interno del blocco 'if nl:' (se ci sono etichette reali
8 ) ...
9
9 # 2. Rascalare le coordinate delle ETICHETTE REALI (target)
10 # Anche qui, la chiamata e' stata adattata a 'shapes[si]'
11 bbox = xywh2xyxy(labels[:, 1:5])
12 scale_coords(img[si].shape[1:], bbox, shapes[si]) # native-space
12 labels

```

Codice A.14: Adattamento scale_coords

```

1 # Avvia un thread separato per la funzione 'plot_images' (per non
2 # bloccare il loop principale).
3 # 'args' passa gli argomenti posizionali (immagine, etichette,
4 # percorso, nome file, nomi classi).
5 # 'kwargs' (key-word arguments) passa un dizionario:
6 #   'is_magnetogram' viene impostato con il valore del flag ,
7 #   'is_magnetogram'.
8 # Questo permette a 'plot_images' di sapere che tipo di immagine
#   sta visualizzando.
6 Thread(target=plot_images, args=(img, targets, paths, f, names),
7         kwargs={'is_magnetogram': is_magnetogram},
8         daemon=True).start()

```

Codice A.15: Chiamata al thread di plotting

A.6 Modifiche a plots.py

```

1 # La firma della funzione originale terminava con 'max_subplots
2 # =16'.
2 # E' stato aggiunto il nuovo argomento 'is_magnetogram=False'
3 # alla fine.
3 def plot_images(images, targets, paths=None, fname='images.jpg',
4                 names=None,
4                     max_size=640, max_subplots=16, is_magnetogram=
5                     False):
5     # Il resto del corpo della funzione...

```

Codice A.16: Firma funzione plot_images

```

1 # ... (codice precedente) ...
2     if isinstance(targets, torch.Tensor):
3         targets = targets.cpu().numpy()
4
5     # La riga originale 'images *= 255' e' stata resa
6     # condizionale.
7     # Si esegue solo se NON e' un magnetogramma E se i valori
8     # sono normalizzati [0,1].
9     if not is_magnetogram and np.max(images[0]) <= 1:
10        images *= 255
11
12 tl = 3 # line thickness
13 # ... (codice successivo) ...

```

Codice A.17: Check normalizzazione plot

```

1 # ... (dentro il ciclo for i, img in enumerate(images)) ...
2
3     # Inizia la logica condizionale basata sul flag
4     if is_magnetogram:
5         # --- Blocco personalizzato per magnetogrammi ---
6
7         # 1. De-normalizza l'immagine (da [0,1] a [-1500,
8         1500])
9         #     (img[0] seleziona il singolo canale)
10        magnetogram_data = img[0] * 3000 - 1500
11
12        # 2. Imposta i limiti di contrasto per la
13        # visualizzazione
14        contrast_min = -300
15        contrast_max = 300
16
17        # 3. Ottiene la colormap 'seismic' (Rosso-Bianco-Blu)
18        cmap = plt.get_cmap('seismic')
19        # 4. Normalizza i dati tra [0,1] in base al contrasto
20        norm = matplotlib.colors.Normalize(vmin=contrast_min,
21                                            vmax=contrast_max)
22
23        # 5. Applica la colormap ai dati normalizzati
24        colored_img = cmap(norm(magnetogram_data))
25        # 6. Converte da RGBA [0,1] a RGB [0,255] (formato
26        # uint8)
27        img_rgb = (colored_img[:, :, :3] * 255).astype(np.
28                                            uint8)
29
30        # 7. Capovolge l'immagine verticalmente (flip Asse X)
31        img = cv2.flip(img_rgb, 0)
32
33        # 8. Ridimensiona se necessario (come da logica
34        # originale)
35        if scale_factor < 1:
36            img = cv2.resize(img, (w, h))
37        else:
38            # --- Blocco Originale per immagini BGR/RGB ---

```

```

33         img = img.transpose(1, 2, 0) # Converte da [C, H, W]
34         a [H, W, C]
35         if scale_factor < 1:
36             img = cv2.resize(img, (w, h))
37
38     # Disegna l'immagine (ora in formato RGB) sul mosaico
39     mosaic[block_y:block_y + h, block_x:block_x + w, :] = img
# ... (codice successivo)

```

Codice A.18: Logica di rendering magnetogrammi

```

1 # ... (codice per il calcolo dei box) ...
2     if boxes.shape[1]:
3         if boxes.max() <= 1.01:
4             boxes[[0, 2]] *= w
5             boxes[[1, 3]] *= h
6         elif scale_factor < 1:
7             boxes *= scale_factor
8
9         # Aggiunta: Blocco per invertire le coordinate Y se e' un
10        # magnetogramma
11        if is_magnetogram:
12            # Inverte le coordinate Y (indice 1 e 3) rispetto all
13            # altezza (h)
14            # Questo compensa il 'cv2.flip(..., 0)' applicato all
15            # immagine
16            boxes[[1, 3]] = h - boxes[[1, 3]]
17
18        # Sposta i box nella loro posizione sul mosaico (logica
19        # originale)
20        boxes[[0, 2]] += block_x
21        boxes[[1, 3]] += block_y
22
23    # ... (codice per disegnare i box) ...

```

Codice A.19: Inversione coordinate Y

A.7 Script di Conversione

```

1 import h5py # Libreria per leggere e scrivere file HDF5
2 import numpy as np # Libreria per il calcolo numerico
3 import cv2 # Libreria OpenCV per l'elaborazione delle immagini
4 import os # Libreria per interagire con il sistema operativo
5 import glob # Libreria per trovare file sul disco tramite pattern
6 from tqdm import tqdm # Libreria per mostrare una barra di
    progresso
7 import argparse # Libreria per gestire gli argomenti passati da
    riga di comando
8 import sys # Libreria per interagire con il sistema
9 import zipfile # Libreria per creare e scrivere file .zip
10 import concurrent.futures # Libreria per la gestione del
    multithreading
11

```

```

12 # --- Impostazioni Globali ---
13 IMG_SIZE = 640 # Dimensione fissa (larghezza e altezza) delle
14     immagini di output
15 CLIP_MIN, CLIP_MAX = -1500, 1500 # Valori minimi e massimi per il
16     clipping dei dati scientifici
17 CLASS_ID = 0 # ID di classe fisso per le etichette (abbiamo solo
18     "regioni attive")
19 # Numero di thread "lavoratori" da usare per processare i file H5
20     in parallelo
21 N_WORKERS = 32
22 #
23
24 def process_file_h5(h5_path):
25     """
26     Processa un singolo file H5.
27     Questa funzione legge i dati, estrae le etichette, processa l'
28     'immagine,
29     e restituisce i dati pronti per essere scritti nello zip.
30     E' progettata per essere eseguita in un thread separato.
31     """
32
33     # Estrae il nome base del file (es. ,
34     M_720s_20101210_000000_TAI_20101210_001159_TAI_01300')
35     base_name = os.path.splitext(os.path.basename(h5_path))[0]
36     # Definisce il percorso dell'immagine DENTRO l'archivio .zip
37     img_arcname = os.path.join('images', f"{base_name}.jpg")
38     # Definisce il percorso del file di etichette DENTRO l'
39     archivio .zip
40     label_arcname = os.path.join('labels', f"{base_name}.txt")
41
42     try:
43         # Apre il file H5 in modalita' lettura ('r')
44         with h5py.File(h5_path, 'r') as f:
45
46             # --- 1. Estrai Dati Immagine ---
47             # Accede al dataset del magnetogramma
48             magnetogram_data = f['magnetogram/data']
49             # Legge le dimensioni originali (altezza, larghezza)
50             orig_h, orig_w = magnetogram_data.shape
51             # Carica l'intero array dei dati in memoria
52             data = magnetogram_data[:]
53
54             # --- 2. Estrai Etichette (Bounding Box) ---
55             # Accede al gruppo dei metadati
56             harp_group = f['harp/metadata']
57             # Lista per contenere le etichette di QUESTA immagine
               image_labels = []
58
59             # Itera su ogni regione attiva (HARP) trovata nei
60             # metadati
61             for harp_id in harp_group:
62                 # Estrae gli attributi della regione corrente
63                 harp_attrs = harp_group[harp_id].attrs

```

```

58             # Lista delle chiavi necessarie per definire un
59             box
60             required_keys = ['CRPIX1', 'CRPIX2', 'CRSIZE1', 'CRSIZE2']
61             # Controlla se tutte le chiavi necessarie sono
62             presenti
63             if not all(key in harp_attrs for key in
64             required_keys):
65                 continue # Se ne manca una, salta questa
66             etichetta
67
68             # Converte le dimensioni (in pixel) in float
69             w_abs = float(harp_attrs['CRSIZE1'])
70             h_abs = float(harp_attrs['CRSIZE2'])
71
72             # Validazione: scarta etichette con dimensioni
73             non positive
74             if w_abs <= 0 or h_abs <= 0:
75                 continue # Salta questa etichetta
76
77             # Calcola le coordinate normalizzate in formato
78             YOLO (centro_x, centro_y, w, h)
79             x_center_norm = (float(harp_attrs['CRPIX1']) +
80             w_abs / 2) / orig_w
81             y_center_norm = (float(harp_attrs['CRPIX2']) +
82             h_abs / 2) / orig_h
83             width_norm = w_abs / orig_w
84             height_norm = h_abs / orig_h
85
86             # Validazione: scarta etichette il cui centro e'
87             fuori dall'immagine
88             if not (0.0 < x_center_norm < 1.0 and 0.0 <
89             y_center_norm < 1.0):
90                 continue # Salta questa etichetta
91
92             # Aggiunge l'etichetta valida alla lista
93             image_labels.append([CLASS_ID, x_center_norm,
94             y_center_norm, width_norm, height_norm])
95
96             # --- 3. Processa Immagine (come in DatasetH5) ---
97             # Pulizia: sostituisce NaN e Infinito con 0.0
98             if np.isnan(data).any() or np.isinf(data).any():
99                 data = np.nan_to_num(data, nan=0.0, posinf=0.0,
100                neginf=0.0)
101
102             # Clipping: "taglia" i valori all'intervalllo definito
103             clipped_data = np.clip(data, CLIP_MIN, CLIP_MAX)
104             # Normalizzazione Min-Max: porta i valori nell'
105             intervallo [0.0, 1.0]
106             normalized_data = (clipped_data - CLIP_MIN) / (
107             CLIP_MAX - CLIP_MIN)
108             # Ridimensionamento: porta l'immagine alla dimensione
109             640x640
110             resized_image = cv2.resize(normalized_data, (IMG_SIZE

```

```

    , IMG_SIZE), interpolation=cv2.INTER_LINEAR)

96
97     # Conversione 8-bit: "appiattisce" i dati float [0,1]
98     # in interi [0,255]
99     image_uint8 = (resized_image * 255.0).astype(np.uint8)
100
101    # Conversione 3 Canali: duplica il canale unico per
102    # creare un'immagine RGB
103    image_rgb = np.stack([image_uint8] * 3, axis=-1)
104
105    # Codifica in memoria: converte l'array NumPy in un
106    # formato JPG (binario)
107    is_success, img_buffer = cv2.imencode('.jpg',
108    image_rgb)
109    if not is_success:
110        # Se la codifica fallisce, solleva un'eccezione
111        raise Exception("Impossibile codificare l'immagine in JPG.")
112
113    # --- 4. Prepara Etichette (Formato TXT) ---
114    # Crea una lista di stringhe, una per ogni etichetta
115    label_lines = [f'{lbl[0]} {lbl[1]} {lbl[2]} {lbl[3]}\n{lbl[4]}' for lbl in image_labels]
116    # Unisce le stringhe con un "a capo", pronto per
117    # essere scritto su file
118    label_content = "\n".join(label_lines)
119
120    # Restituisce tutti i dati necessari al thread
121    # principale per la scrittura
122    return (img_arcname, img_buffer.tobytes(),
123    label_arcname, label_content)
124
125 except Exception as e:
126     # Gestione degli errori (es. file H5 corrotto)
127     print(f"\nATTENZIONE: Fallimento nel processare {h5_path}: {e}")
128     # Crea un'immagine nera (placeholder)
129     placeholder_img = np.zeros((IMG_SIZE, IMG_SIZE, 3), dtype=np.uint8)
130     # Codifica l'immagine nera
131     is_success, img_buffer = cv2.imencode('.jpg',
132     placeholder_img)
133     # Restituisce l'immagine nera e un file etichette vuoto
134     return (img_arcname, img_buffer.tobytes(), label_arcname,
135     "")

def main():
    """
    Funzione principale che orchestra il processo.
    Gestisce gli argomenti da riga di comando, trova i file,
    avvia il ThreadPool ed esegue la scrittura del file .zip.
    """

```

```

135     # Configura il parser per gli argomenti da riga di comando
136     parser = argparse.ArgumentParser(description="Converte il
137         dataset H5 in un singolo file .zip in formato YOLO (
138             multithread).")
139         parser.add_argument('--source-dir', type=str, required=True,
140             help="Cartella locale contenente i file .h5")
141         parser.add_argument('--zip-file', type=str, required=True,
142             help="Percorso del file .zip di output")
143         parser.add_argument('--workers', type=int, default=N_WORKERS,
144             help="Numero di thread 'produttori'")
145         args = parser.parse_args() # Legge gli argomenti forniti dall
146             'utente'
147
148     # Trova tutti i file .h5 nella cartella sorgente (anche
149         sottocartelle)
150         h5_files = sorted(glob.glob(os.path.join(args.source_dir, '**',
151             '*.h5')), recursive=True))
152         if not h5_files:
153             # Se non trova file, stampa un errore ed esce
154                 print(f"Errore: Nessun file .h5 trovato in {args.
155                     source_dir}")
156                 sys.exit(1)
157
158         print(f"Trovati {len(h5_files)} file .h5. Avvio della
159             conversione in '{args.zip_file}'...")
160             print(f"Uso di {args.workers} thread lavoratori.")
161
162         # Crea e gestisce un pool di thread (max 'args.workers',
163             thread attivi contemporaneamente)
164         with concurrent.futures.ThreadPoolExecutor(max_workers=args.
165             workers) as executor:
166
167             # Apre il file .zip in modalita' scrittura ('w') con
168                 compressione
169                 with zipfile.ZipFile(args.zip_file, 'w', compression=
170                     zipfile.ZIP_DEFLATED) as zf:
171
172                     # Sottomette tutti i lavori (chiama 'process_file_h5'
173                         per ogni file)
174                         # 'futures' e' una lista di "promesse" di risultati
175                             futuri
176                             futures = [executor.submit(process_file_h5, h5_path)
177                                 for h5_path in h5_files]
178
179                     # Il thread principale (questo) ora itera sui
180                         risultati man mano che
181                             # i thread "lavoratori" li completano (non in ordine
182                               di invio)
183                               # 'tqdm' crea una barra di progresso per questa
184                                   iterazione
185                                   for future in tqdm(concurrent.futures.as_completed(
186                                       futures), total=len(h5_files), desc="Conversione in corso"):
187
188                                         # Ottiene il risultato dal thread completato

```

```

168         result = future.result()
169
170     if result:
171         # Estraie i dati restituiti dalla funzione
172         img_arcname, img_buffer, label_arcname,
173     label_content = result
174
175         # Scrive l'immagine (binaria) nel file .zip
176         zf.writestr(img_arcname, img_buffer)
177         # Scrive le etichette (testo) nel file .zip
178         zf.writestr(label_arcname, label_content)
179
180     print("\nConversione completata.")
181     print(f"Il file '{args.zip_file}' e' stato creato con
182 successo.")
183
184 # Questo blocco assicura che la funzione 'main()' sia eseguita
185 # solo quando lo script e' avviato direttamente (non se importato
186 )
187 if __name__ == "__main__":
188     main()

```

Codice A.20: Script preprocess_to_zip.py completo

A.8 Script di Post-Processing

```

1 # Importa la libreria OpenCV per l'elaborazione delle immagini
2 import cv2
3 # Importa la libreria NumPy per il calcolo numerico e la gestione
4 # degli array
5 import numpy as np
6 # Importa la libreria per interagire con il sistema operativo
7 import os
8 # Importa la libreria per cercare file sul disco che
# corrispondono a un pattern
9 import glob
10
10 # --- Impostazioni ---
11 # Definisce il percorso da cui leggere le immagini originali (con
# sfondo grigio)
12 CARTELLA_INPUT = 'Validation/images_original'
13 # Definisce il percorso in cui salvare le immagini pulite (con
# sfondo nero)
14 CARTELLA_OUTPUT = 'Validation/images'
15
16 # Percentuale del raggio. 1.0 = fino al bordo.
17 # 0.96 taglia via i bordi rumorosi/sfumati e lo sfondo.
18 FATTORE_RAGGIO = 0.96
19 #
20
21 # Crea la cartella di output se non esiste
22 # Controlla se la cartella di output non esiste gia',
23 if not os.path.exists(CARTELLA_OUTPUT):

```

```

24     # Crea la cartella di output (e tutte le cartelle intermedie
25     # necessarie)
26     os.makedirs(CARTELLA_OUTPUT)
27     # Stampa un messaggio di conferma della creazione
28     print(f"Cartella '{CARTELLA_OUTPUT}' creata.")
29
30 # Cerca tutti i file immagine (anche nelle sottocartelle)
31 # Definisce una tupla di estensioni di file immagine da cercare
32 tipi_file = ('*.jpg', '*.jpeg', '*.png', '*.bmp', '*.tif')
33 # Inizializza una lista vuota per contenere i percorsi dei file
34 # trovati
35 file_immagini = []
36 # Avvia un ciclo per ogni estensione definita in 'tipi_file'
37 for tipo in tipi_file:
38     # Cerca (ricorsivamente, '**') i file che corrispondono al
39     # pattern e li aggiunge alla lista
40     file_immagini.extend(glob.glob(os.path.join(CARTELLA_INPUT, ,
41                                     '**', tipo), recursive=True))
42
43 # Controlla se sono stati trovati file
44 # Controlla se la lista 'file_immagini' e' vuota (nessun file
45 # trovato)
46 if not file_immagini:
47     # Stampa un messaggio di avviso se non sono state trovate
48     # immagini
49     print(f"Nessuna immagine trovata nella cartella '{
50           CARTELLA_INPUT}'.")
51     # Stampa un suggerimento per l'utente
52     print("Assicurati di aver creato una cartella 'input' e di
53           averci messo le tue immagini.")
54 # Blocco eseguito se almeno un'immagine e' stata trovata
55 else:
56     # Stampa il numero di immagini trovate e avvia l'elaborazione
57     print(f"Trovate {len(file_immagini)} immagini. Inizio
58           elaborazione...")
59
60 # Elabora ogni immagine
61 # Avvia un ciclo che itera su ogni percorso di file trovato
62 for percorso_immagine in file_immagini:
63     # Carica l'immagine originale
64     # Legge il file immagine dal disco e lo carica in un array
65     # NumPy
66     img_originale = cv2.imread(percorso_immagine)
67
68     # Controlla se il caricamento dell'immagine e' fallito (es.
69     # file corrotto)
70     if img_originale is None:
71         # Stampa un messaggio di errore specificando il file
72         print(f"Errore: Impossibile caricare l'immagine {
73               percorso_immagine}")
74         # Interrompe questa iterazione del ciclo e passa al file
75         # successivo
76         continue
77
78
79
80
81
82
83
84

```

```

65      # Ottieni le dimensioni dell'immagine
66      # Estrae l'altezza ('h') e la larghezza ('w') dalle
67      # dimensioni dell'array immagine
68      h, w = img_originale.shape[:2]
69
70      # Calcola il centro e il raggio
71      # Calcola la coordinata X del centro dell'immagine (divisione
72      # intera)
73      centro_x = w // 2
74      # Calcola la coordinata Y del centro dell'immagine (divisione
75      # intera)
76      centro_y = h // 2
77
78      # Calcola il raggio basandoti sulla dimensione piu' piccola
79      # Trova il raggio massimo possibile (basato sul lato piu'
80      # corto dal centro)
81      raggio_base = min(centro_x, centro_y)
82      # e applica il fattore per escludere i bordi (es. 0.96) e
83      # converte in intero
84      raggio = int(raggio_base * FATTORI_RAGGIO)
85
86      # 1. Crea una maschera completamente nera
87      # (della stessa dimensione e tipo dell'originale)
88      # Crea un array NumPy pieno di zeri (nero) con le stesse
89      # dimensioni di 'img_originale'
90      maschera = np.zeros_like(img_originale)
91
92      # 2. Disegna un cerchio pieno bianco sulla maschera
93      # Questo cerchio rappresenta l'area che vogliamo conservare
94      # Disegna un cerchio bianco pieno sulla maschera
95      cv2.circle(maschera, (centro_x, centro_y), raggio, (255, 255,
96      255), thickness=cv2.FILLED)
97
98      # 3. Applica la maschera all'immagine originale
99      # cv2.bitwise_and mantiene solo i pixel dove entrambe
100     # le immagini (originale e maschera) sono non-neri.
101     # Esegue un'operazione AND bit-per-bit. I pixel fuori dal
102     # cerchio (dove la maschera e' 0) diventano 0.
103     risultato = cv2.bitwise_and(img_originale, maschera)
104
105     # Costruisce il percorso di output mantenendo la struttura
106     # Calcola il percorso relativo del file (es. 'sottocartella/
107     # img.jpg')
108     percorso_relativo = os.path.relpath(percorso_immagine,
109     CARTELLA_INPUT)
110     # Ricostruisce il percorso di destinazione nella cartella di
111     # output
112     percorso_output = os.path.join(CARTELLA_OUTPUT,
113     percorso_relativo)
114
115     # Estrae il percorso della cartella di destinazione (es. ,
116     # Validation/images/sottocartella')
117     cartella_destinazione = os.path.dirname(percorso_output)
118     # Controlla se la cartella di destinazione (per le

```

```

    sottocartelle) non esiste
106     if not os.path.exists(cartella_destinazione):
107         # Crea la sottocartella di destinazione se necessario
108         os.makedirs(cartella_destinazione)
109
110     # Salva l'immagine modificata
111     # Salva l'array 'risultato' (l'immagine mascherata) sul disco
112     # nel percorso di output
113     cv2.imwrite(percorso_output, risultato)
114
115 # Stampa un messaggio finale al termine di tutti i cicli
116 print(f"\nElaborazione completata. Immagini salvate in '{CARTELLA_OUTPUT}'")

```

Codice A.21: Script convert.py per il mascheramento

A.9 Script di Tracciamento e Analisi

```

1 import argparse # Gestione degli argomenti da riga di comando
2 import os # Interazione con il sistema operativo
3 from typing import List # Per il type hinting
4 import subprocess # Per eseguire comandi esterni (es. FFmpeg)
5 import numpy as np # Calcolo numerico e matriciale
6 import torch # Framework PyTorch per deep learning
7 import cv2 # OpenCV per elaborazione immagini
8 import h5py # Lettura file scientifici HDF5
9 import glob # Ricerca file tramite pattern
10 from tqdm import tqdm # Barra di avanzamento
11 import norfair # Libreria di Object Tracking
12 from norfair import Detection, Tracker # Classi principali di
13     Norfair
14 from models.experimental import attempt_load # Caricamento
15     modello YOLOv7
16 from utils.general import non_max_suppression # Algoritmo NMS
17
18 # --- FUNZIONI DI UTILITA' ---
19 def yolo_detections_to_norfair_detections(yolo_detections: torch.
20 tensor) -> List[Detection]:
21     """Converte le rilevazioni di YOLOv7 in un formato
22     comprensibile da Norfair."""
23     norfair_detections: List[Detection] = []
24     # yolo_detections ha formato [x_min, y_min, x_max, y_max,
25     conf, class]
26     for detection in yolo_detections:
27         # Estraie le coordinate del bounding box
28         bbox = np.array(
29             [

```

```

30         scores = np.array([detection[4].item(), detection[4].item()
31             ()])
32         # Crea l'oggetto Detection richiesto da Norfair
33         norfair_detections.append(
34             Detection(points=bbox, scores=scores, label=int(
35                 detection[5].item())))
36     )
37     return norfair_detections
38
39 # --- MAIN ---
40 # 1. DEFINIZIONE DEGLI ARGOMENTI
41 parser = argparse.ArgumentParser(description="Traccia le regioni
42 attive solari.")
43 parser.add_argument("--input-dir", type=str, required=True, help=
44     "Percorso file .h5 o .jpg.")
45 parser.add_argument("--model-path", type=str, required=True, help
46     ="Percorso modello .pt.")
47 parser.add_argument("--img-size", type=int, default=640, help="
48     Dimensione inferenza.")
49 parser.add_argument("--conf-threshold", type=float, default=0.25,
50     help="Soglia confidenza.")
51 parser.add_argument("--output-dir", type=str, default="
52     output_tracking", help="Cartella output.")
53 parser.add_argument("--clip-min", type=int, default=-1500, help="
54     Min clipping H5.")
55 parser.add_argument("--clip-max", type=int, default=1500, help="
56     Max clipping H5.")
57 args = parser.parse_args() # Parsing degli argomenti
58
59 # 2. IMPOSTAZIONI INIZIALI
60 os.makedirs(args.output_dir, exist_ok=True) # Crea cartella
61         output se non esiste
62 device = torch.device("cuda:0" if torch.cuda.is_available() else
63     "cpu") # Selezione hardware
64
65 # 3. CARICAMENTO DEL MODELLO
66 print("Caricamento del modello...")
67 # Carica i pesi del modello sul device selezionato
68 model = attempt_load(args.model_path, map_location=device)
69 model.eval() # Imposta il modello in modalita' valutazione (
70     inferenza)
71
72 # 4. INIZIALIZZAZIONE DI NORFAIR
73 # Configura il tracker basato sulla sovrapposizione spaziale (IOU
74     )
75 tracker = Tracker(
76     distance_function="iou",
77     distance_threshold=0.7, # Soglia di distanza per associare
78     oggetti
79 )
80
81 # 5. RICERCA DEI FILE
82 # Cerca prima i file scientifici H5
83 input_files = sorted(glob.glob(os.path.join(args.input_dir, '*.h5

```

```

        ')))
69 if not input_files: # Se non trova H5, cerca immagini JPG/JPEG
70     input_files = sorted(glob.glob(os.path.join(args.input_dir, '.
71                             *.jpg')) + \
72                             sorted(glob.glob(os.path.join(args.input_dir, '.
73                             *.jpeg'))))
74
75 if not input_files:
76     print(f"ERRORE: Nessun file trovato in {args.input_dir}")
77     exit()
78
79 # 6. CICLO DI ELABORAZIONE
80 for file_path in tqdm(input_files, desc="Tracking"):
81
82     # --- LOGICA DI CARICAMENTO IBRIDA ---
83     if file_path.endswith('.h5'): # Caso: File Scientifico
84         with h5py.File(file_path, 'r') as f:
85             data = f['magnetogram/data'][:] # Legge matrice dati
86             # Crea maschera per i valori mancanti (NaN)
87             background_mask = np.isnan(data)
88             # Sostituisce NaN con 0.0 per evitare errori numerici
89             data = np.nan_to_num(data, nan=0.0, posinf=0.0, neginf
90 =0.0)
91             # Applica clipping fisico ai valori del campo magnetico
92             clipped_data = np.clip(data, args.clip_min, args.clip_max
93 )
94             # Normalizza i dati nell'intervallo [0, 1]
95             normalized_data = (clipped_data - args.clip_min) / (args.
96             clip_max - args.clip_min)
97             # Ridimensiona l'immagine per l'inferenza
98             resized_image = cv2.resize(normalized_data, (args.
99             img_size, args.img_size), interpolation=cv2.INTER_LINEAR)
100
101             # Preparazione visualizzazione (Converte scala di grigi
102             # in BGR per OpenCV)
103             display_image_gray = (resized_image * 255).astype(np.
104             uint8)
105             # Ridimensiona la maschera dello sfondo
106             background_mask_resized = cv2.resize(background_mask.
107             astype(np.uint8), (args.img_size, args.img_size),
108             interpolation=cv2.INTER_NEAREST)
109             # Imposta a nero i pixel dello sfondo usando la maschera
110             display_image_gray[background_mask_resized == 1] = 0
111             display_image = cv2.cvtColor(display_image_gray, cv2.
112             COLOR_GRAY2BGR)
113             # Crea il tensore input duplicando i canali (1 -> 3)
114             image_tensor_np = np.stack([resized_image] * 3, axis=-1)
115
116     else: # Caso: Immagine Standard
117         img_raw = cv2.imread(file_path) # Legge immagine
118         if img_raw is None: continue # Salta se errore lettura
119         # Ridimensiona immagine
120         display_image = cv2.resize(img_raw, (args.img_size, args.
121         img_size), interpolation=cv2.INTER_LINEAR)

```

```

110         # Normalizza pixel tra 0 e 1
111         image_tensor_np = display_image.astype(np.float32) /
112             255.0
113
114         # Conversione in Tensore PyTorch e spostamento su GPU/CPU
115         # Transpone dimensioni da [H, W, C] a [C, H, W]
116         image_tensor = torch.from_numpy(image_tensor_np.transpose(2,
117             0, 1)).float().to(device)
118         image_tensor = image_tensor.unsqueeze(0) # Aggiunge
119         dimensione batch
120
121         # --- Inferenza ---
122         with torch.no_grad(): # Disabilita calcolo gradienti
123             results = model(image_tensor, augment=False)[0]
124             # Applica Non-Maximum Suppression per filtrare box
125             sovrapposti
126             results = non_max_suppression(results, conf_thres=args.
127                 conf_threshold)[0]
128
129         # --- Update Tracker ---
130         if results is not None and len(results) > 0:
131             # Converte rilevazioni YOLO in oggetti Norfair
132             detections = yolo_detections_to_norfair_detections(
133                 results)
134             # Aggiorna il tracker con le nuove posizioni
135             tracked_objects = tracker.update(detections=detections)
136         else:
137             # Aggiorna il tracker anche se non ci sono rilevazioni (per
138             # gestire oggetti persi)
139             tracked_objects = tracker.update(detections[])
140
141         # Disegna e Salva
142         # Disegna i box e gli ID tracciati sull'immagine
143         norfair.draw_tracked_boxes(display_image, tracked_objects)
144         # Definisce nome file output (cambia estensione in .jpg se
145         # necessario)
146         output_filename = os.path.basename(file_path).replace('.h5',
147             '.jpg')
148         # Salva il frame processato su disco
149         cv2.imwrite(os.path.join(args.output_dir, output_filename),
150             display_image)
151
152     # Generazione Video con FFMPEG
153     print("\nGenerazione video...")
154     # Esegue comando esterno ffmpeg per unire i frame in un video MP4
155     subprocess.run([
156         'ffmpeg', '-y', '-r', '10', '-pattern_type', 'glob',
157         '-i', f'{args.output_dir}/*.jpg',
158         '-c:v', 'libx264', '-pix_fmt', 'yuv420p',
159         os.path.join(args.output_dir, "tracking_video.mp4")
160     ])

```

Codice A.22: Script di tracciamento (track.py)

```
1 import argparse # Gestione argomenti riga di comando
```

```

2 import os # Gestione file system
3 import glob # Ricerca file
4 import shutil # Operazioni su file e cartelle (es. rimozione)
5 import numpy as np # Calcolo numerico
6 import torch # Deep Learning
7 import cv2 # OpenCV
8 import h5py # Lettura file H5
9 from tqdm import tqdm # Barra di progresso
10 import norfair # Libreria Tracking
11 from norfair import Detection, Tracker # Classi base
12 # Importazioni specifiche per il calcolo delle metriche MOT
13 from norfair.metrics import Accumulators, InformationFile
14 from models.experimental import attempt_load # Loading YOLO
15 from utils.general import non_max_suppression # NMS
16
17 # --- 1. UTILITY: Prepara il GT personalizzato per Norfair ---
18 def setup_custom_mot_structure(custom_gt_path, img_list,
19     output_base, img_w, img_h):
20     """
21         Legge il file ground_truth proprietario e crea la struttura
22         di cartelle
23         standard 'MOTChallenge' richiesta dalle metriche di Norfair.
24     """
25     # Crea cartella 'gt' all'interno della directory temporanea
26     gt_dir = os.path.join(output_base, "gt")
27     os.makedirs(gt_dir, exist_ok=True)
28
29     dest_gt_path = os.path.join(gt_dir, "gt.txt")
30
31     print(f"Preparazione Ground Truth da: {custom_gt_path}")
32
33     if not os.path.exists(custom_gt_path):
34         print(f"ERRORE CRITICO: Il file GT {custom_gt_path} non
35             esiste!")
36         exit()
37
38     # Legge il file originale e lo converte riga per riga
39     with open(custom_gt_path, "r") as in_f, open(dest_gt_path, "w") as out_f:
40         for line in in_f:
41             parts = line.strip().split(',')
42             if len(parts) < 6: continue
43
44             try:
45                 # Parsing dei dati: frame, id, x, y, w, h
46                 frame = int(parts[0])
47                 obj_id = int(parts[1])
48                 x = float(parts[2])
49                 y = float(parts[3])
50                 w = float(parts[4])
51                 h = float(parts[5])
52
53                 # Scrive nel formato standard MOT:
54                 # frame, id, left, top, width, height, conf(1),

```

```

    -1, -1, -1
    mot_line = f"{{frame}},{obj_id},{x:.2f},{y:.2f},{w
    :.2f},{h:.2f},1,-1,-1,-1\n"
    out_f.write(mot_line)
except ValueError:
    continue

# Creazione del file seqinfo.ini (fondamentale per le
# metriche)
seq_len = len(img_list)
seqinfo_path = os.path.join(output_base, "seqinfo.ini")
with open(seqinfo_path, "w") as f:
    f.write("[Sequence]\n")
    f.write(f"name={os.path.basename(output_base)}\n")
    f.write(f"imDir=img1\n")
    f.write(f"frameRate=30\n")
    f.write(f"seqLength={seq_len}\n")
    f.write(f"imWidth={img_w}\n")
    f.write(f"imHeight={img_h}\n")
    f.write(f"imExt=.jpg\n")

# --- 2. CONVERSIONE YOLO -> NORFAIR ---
def yolo_to_norfair(yolo_preds):
    """Converte i tensori di output di YOLO in oggetti Detection
    di Norfair."""
    norfair_detections = []
    for det in yolo_preds:
        # Estrae bbox [x_min, y_min, x_max, y_max]
        bbox = np.array([
            [det[0].item(), det[1].item()],
            [det[2].item(), det[3].item()]
        ])
        scores = np.array([det[4].item(), det[4].item()])
        label = int(det[5].item())
        norfair_detections.append(Detection(points=bbox, scores=
        scores, label=label))
    return norfair_detections

# --- MAIN ---
if __name__ == "__main__":
    # Configurazione argomenti
    parser = argparse.ArgumentParser()
    parser.add_argument("--source", type=str, required=True, help
    ="Cartella immagini")
    parser.add_argument("--gt-file", type=str, required=True,
    help="File GT proprietario")
    parser.add_argument("--model-path", type=str, required=True,
    help="Modello .pt")
    parser.add_argument("--img-size", type=int, default=640)
    parser.add_argument("--conf-thres", type=float, default=0.25)
    args = parser.parse_args()

    device = torch.device("cuda" if torch.cuda.is_available()
else "cpu")

```

```

97
98     # 1. Carica Modello (Gestione JIT/Torchscript)
99     print(f"Caricamento modello: {args.model_path}")
100    try:
101        model = attempt_load(args.model_path, map_location=device)
102    except (AttributeError, RuntimeError):
103        # Fallback per modelli esportati in TorchScript
104        print("Rilevato modello JIT/Traced. Uso torch.jit.load...")
105    model = torch.jit.load(args.model_path, map_location=device)
106    model.eval()
107
108    # 2. Lista File
109    input_files = sorted(glob.glob(os.path.join(args.source, '*.*')))
110    # Filtra solo le estensioni supportate
111    input_files = [f for f in input_files if f.endswith('.jpg',
112        '.jpeg', '.png', '.h5')]]
113    if not input_files:
114        print("ERRORE: Nessun file trovato.")
115        exit()
116
117    # Prepara Cartella temporanea per le metriche
118    TEMP_MOT_DIR = "temp_metrics_env"
119    if os.path.exists(TEMP_MOT_DIR): shutil.rmtree(TEMP_MOT_DIR)
120    os.makedirs(TEMP_MOT_DIR, exist_ok=True)
121
122    # 3. Setup Ambiente Metriche
123    # Converte il GT e crea seqinfo.ini
124    setup_custom_mot_structure(args.gt_file, input_files,
125        TEMP_MOT_DIR, args.img_size, args.img_size)
126
127    # 4. Inizializza Tracker
128    tracker = Tracker(
129        distance_function="iou",
130        distance_threshold=0.7,
131        detection_threshold=args.conf_thres
132    )
133
134    # Inizializza oggetti per calcolo metriche
135    print("Inizializzazione Metriche...")
136    seqinfo_path = os.path.join(TEMP_MOT_DIR, "seqinfo.ini")
137
138    try:
139        # Crea oggetto InformationFile leggendo il file .ini
140        # generato
141        info_file = InformationFile(file_path=seqinfo_path)
142
143        # Crea accumulatore di statistiche
144        acc = Accumulators()
145        acc.create_accumulator(input_path=TEMP_MOT_DIR,
146            information_file=info_file)

```

```

143
144     except Exception as e:
145         print(f"Errore inizializzazione Norfair: {e}")
146         exit()
147
148     print(f"\nAvvio Tracking su {len(input_files)} frames...")
149
150     # LOOP PRINCIPALE
151     for i, path in enumerate(tqdm(input_files)):
152         # Caricamento e Pre-processing Ibrido
153         if path.endswith('.h5'):
154             with h5py.File(path, 'r') as f: data = np.nan_to_num(
155                 f['magnetogram/data'][::])
156                 # Normalizzazione scientifica [-1500, 1500] -> [0, 1]
157                 norm = (np.clip(data, -1500, 1500) + 1500) / 3000
158                 img0 = cv2.resize(norm, (args.img_size, args.img_size))
159
160                 img_tensor = torch.from_numpy(np.stack([img0]*3, axis
161 =-1)).float()
162             else:
163                 img0 = cv2.imread(path)
164                 if img0 is None: continue
165                 img0 = cv2.resize(img0, (args.img_size, args.img_size))
166
167                 img_tensor = torch.from_numpy(img0 / 255.0).float()
168
169             # Preparazione tensore GPU
170             img_tensor = img_tensor.permute(2, 0, 1).unsqueeze(0).to(
171 device)
172
173             # Inferenza
174             with torch.no_grad():
175                 try:
176                     pred = model(img_tensor, augment=False)[0]
177                 except:
178                     pred = model(img_tensor)[0] # Fallback JIT
179
180             # Filtraggio NMS
181             pred = non_max_suppression(pred, args.conf_thres)[0]
182
183             # Aggiornamento Tracker
184             if pred is not None and len(pred) > 0:
185                 dets = yolo_to_norfair(pred)
186                 tracked_objs = tracker.update(detections=dets)
187             else:
188                 tracked_objs = tracker.update(detections=[])
189
190             # Aggiornamento Metriche
191             # Confronta le predizioni del tracker con il GT per
192             # questo frame
193             acc.update(predictions=tracked_objs)
194
195             # 5. Calcolo Risultati Finali
196             print("\n" + "="*40)

```

```

191     print(" RISULTATI FINALI ")
192     print("*"*40)
193
194     try:
195         # Calcola le metriche (MOTA, IDF1, ecc.)
196         metrics = acc.compute_metrics()
197         print(metrics)
198
199         # Salva report su file
200         os.makedirs("risultati_finali", exist_ok=True)
201         acc.save_metrics(save_path="risultati_finali", file_name=
202             "report_metriche_complete.txt")
203         print("\nReport salvato in: risultati_finali/
204             report_metriche.txt")
205
206     except Exception as e:
207         print(f"\nERRORE calcolo metriche: {e}")

```

Codice A.23: Script per il calcolo delle metriche MOT (track_metrics.py)

Bibliografia

- [1] E. Camporeale, S. Wing, and J. Johnson, eds., *Machine learning techniques for space weather*. Elsevier, 2018.
- [2] L. Bolduc, “Gic observations and studies in the hydro-québec power system,” *Journal of Atmospheric and Solar-Terrestrial Physics*, vol. 64, no. 16, pp. 1793–1802, 2002.
- [3] C. T. Gaunt and G. Coetzee, “Transformer failures in regions incorrectly considered to have low gic-risk,” in *2007 IEEE Lausanne Power Tech*, pp. 807–812, IEEE, 2007.
- [4] M. Hapgood, “Ionospheric correction of space radar data,” *Acta Geophysica*, vol. 58, no. 3, pp. 453–467, 2010.
- [5] C.-Y. Wang, A. Bochkovskiy, and H.-Y. M. Liao, “YOLOv7: Trainable bag-of-freebies sets new state-of-the-art for real-time object detectors,” 2022. <https://arxiv.org/abs/2207.02696>.
- [6] W. D. Pesnell, B. J. Thompson, and P. C. Chamberlin, “The solar dynamics observatory (sdo),” *Solar Physics*, vol. 275, no. 1-2, pp. 3–15, 2012.
- [7] S. Russell and P. Norvig, *Artificial Intelligence: A Modern Approach*. Pearson Education, 2010.
- [8] I. Goodfellow, Y. Bengio, and A. Courville, *Deep Learning*. MIT Press, 2016.
- [9] T. M. Mitchell, *Machine Learning*. McGraw-Hill, 1997.
- [10] Z. Zhao, P. Zheng, S.-t. Xu, and X. Wu, “Object detection with deep learning: A review,” *IEEE Transactions on Neural Networks and Learning Systems*, vol. 30, no. 11, pp. 3212–3232, 2019.
- [11] S. Ren, K. He, R. Girshick, and J. Sun, “Faster r-cnn: Towards real-time object detection with region proposal networks,” in *Advances in Neural Information Processing Systems (NeurIPS)*, 2015.
- [12] J. Redmon, S. Divvala, R. Girshick, and A. Farhadi, “You only look once: Unified, real-time object detection,” in *Proceedings of the IEEE Conference on Computer Vision and Pattern Recognition (CVPR)*, 2016.

- [13] W. Liu, D. Anguelov, D. Erhan, C. Szegedy, S. Reed, C.-Y. Fu, and A. C. Berg, “Ssd: Single shot multibox detector,” in *European Conference on Computer Vision (ECCV)*, 2016.
- [14] NumPy Developers, *NumPy Documentation*, 2023.
- [15] SciPy Developers, *SciPy Documentation*, 2023.
- [16] OpenCV.org, *OpenCV Documentation*, 2023.
- [17] Matplotlib Development Team, *Matplotlib Documentation*, 2023.
- [18] Anaconda, Inc., *Miniconda — Conda package manager*, 2023.
- [19] A. Paszke, S. Gross, F. Massa, A. Lerer, J. Bradbury, G. Chanan, T. Killeen, Z. Lin, N. Gimelshein, L. Antiga, A. Desmaison, A. Kopf, E. Yang, Z. DeVito, M. Raison, A. Tejani, S. Chilamkurthy, B. Steiner, L. Fang, J. Bai, and S. Chintala, “Pytorch: An imperative style, high-performance deep learning library,” *Advances in Neural Information Processing Systems 32 (NeurIPS 2019)*, 2019.
- [20] NVIDIA Corporation, *CUDA Toolkit Documentation*, 2023.
- [21] “Norfair: Simple, real-time, python 3d multi-object tracker.” <https://github.com/tryolabs/norfair>.
- [22] W. D. Pesnell, B. J. Thompson, and P. C. Chamberlin, “The solar dynamics observatory (sdo),” *Solar Physics*, vol. 275, no. 1-2, pp. 3–15, 2012.
- [23] P. H. Scherrer, J. Schou, R. I. Bush, *et al.*, “The helioseismic and magnetic imager (hmi) investigation for the solar dynamics observatory (sdo),” *Solar Physics*, vol. 275, no. 1-2, pp. 207–227, 2012.
- [24] E. R. Priest, *Magnetohydrodynamics of the Sun*. Cambridge University Press, 2014.

